

Ultrasons : de la physique à la médecine

Pascal Laugier, Michael Tanter*

Laboratoire d 'Imagerie Paramétrique UMR CNRS 7623
15 rue de l'École de Médecine Paris 75006

*Laboratoire Ondes et Acoustique UMR CNRS
10 rue Vauquelin Paris 75005

Ultrasons en médecine

Applications diagnostiques

- Imagerie échographique
- Vélocimétrie
- Caractérisation tissulaire

Applications thérapeutiques

- Hyperthermie
- Lithotripsie

- Imagerie haute fréquence
- Focalisation dans les milieux hétérogènes
- Imagerie quantitative
- Elastographie
- Non linéaire, produits de contraste
- ...

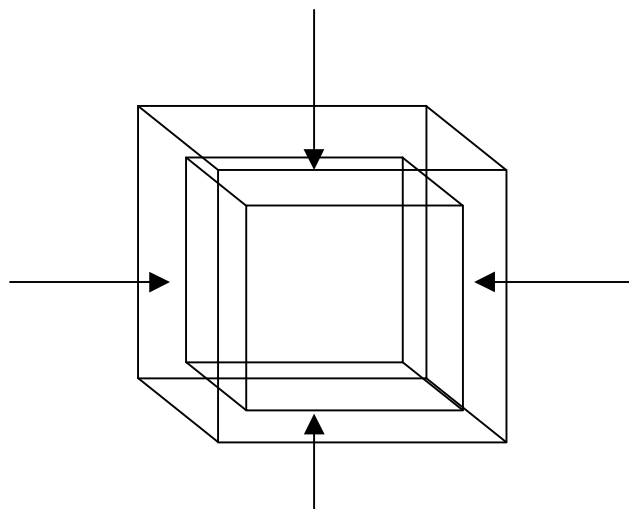
Introduction : l'imagerie échographique

P. Laugier, LIP & M. Tanter, LOA - e2phy 2002 (Villeurbanne, 26-29 août 2002)

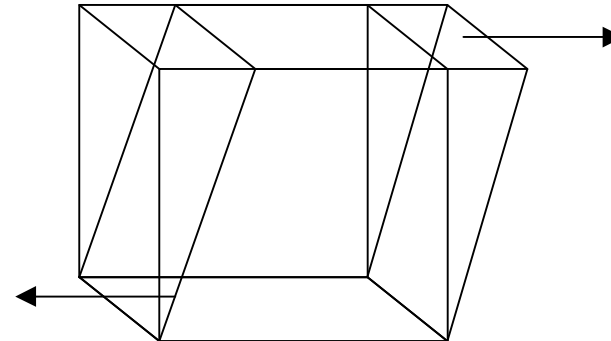
Caractéristiques du milieu de propagation

Solide élastique isotrope

- Densité ρ (kg/m³)
- Modules de compression K , module de cisaillement m
(Module d'Young E , coefficient de Poisson s)



Compression uniforme K



Cisaillement λ

□ Célérité c (m/s)

Onde longitudinale

$$\rightarrow c_l = \sqrt{\frac{3K + 4m}{3r}}$$

Onde de cisaillement

$$\rightarrow c_t = \sqrt{\frac{m}{r}}$$

Tissus mous μ (10³-10⁷ Pa) << K (10⁹ Pa)

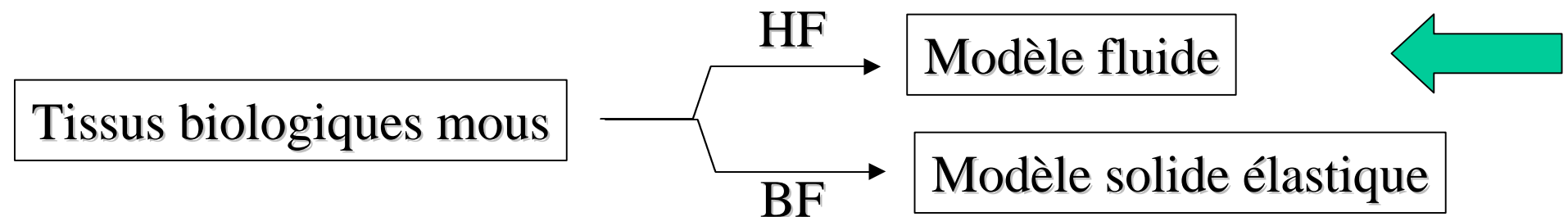
$$\Rightarrow c_l \approx \sqrt{\frac{K}{\tilde{n}}}$$

$$c_t = \sqrt{\frac{m}{r}}$$

c_l (environ 1500 m/s) >> c_t (qq. m/s à qq. 10 m/s)

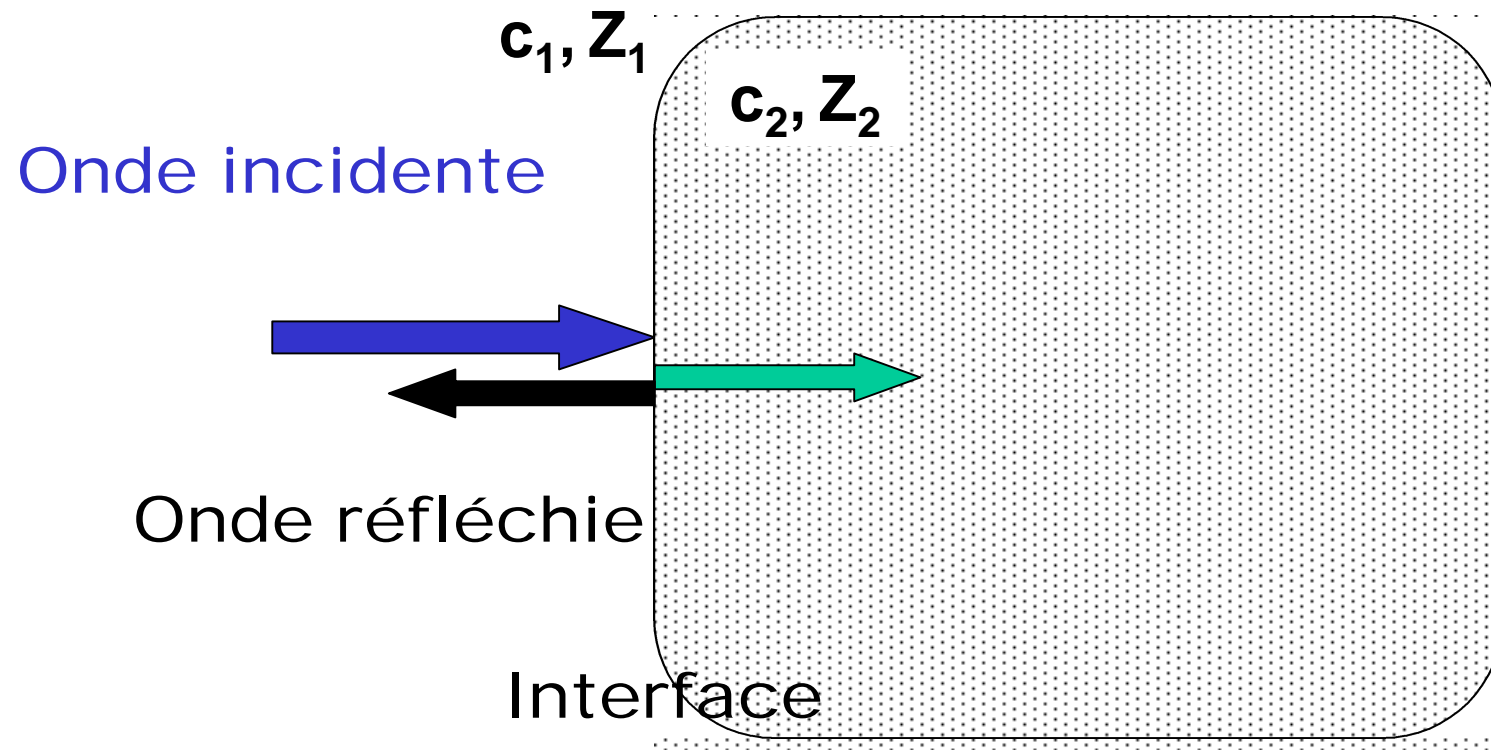
□ Tissus mous biologiques

Aux fréquences ultrasonores, onde de cisaillement très rapidement atténuées. En première approximation, seules les ondes de compression se propagent (milieu équivalent fluide).



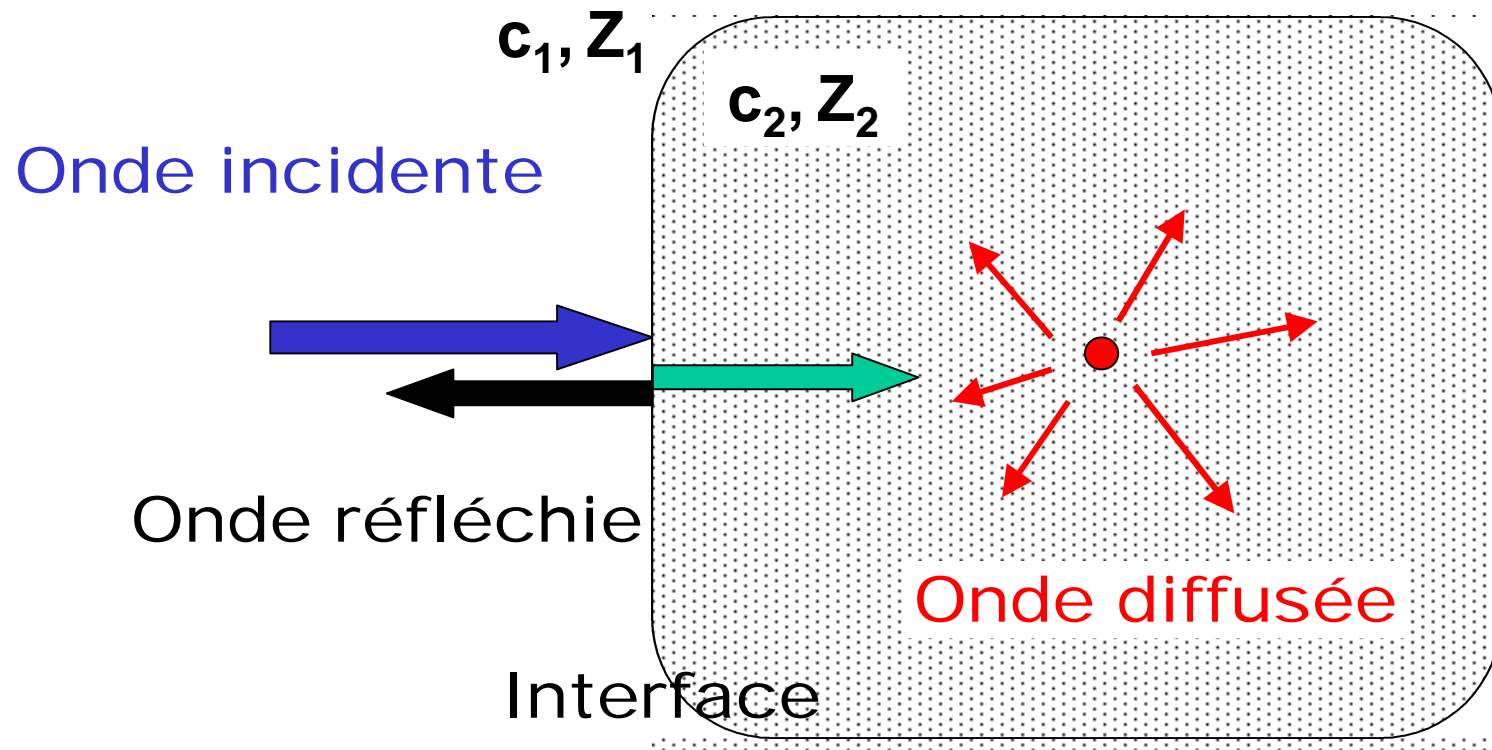
Interaction des ultrasons / milieu biologiques

Réflexion – Diffusion – Atténuation



Interaction des ultrasons / milieu biologiques

Réflexion – Diffusion – Atténuation



L'intensité incidente est réfléchie, diffusée ou atténuée

Caractéristiques du milieu de propagation

- Impédance acoustique $Z = \rho c_l$

$$\frac{I_r}{I_0} = R = \frac{(Z_2 - Z_1)^2}{(Z_2 + Z_1)^2}$$

- Rétrodiffusion

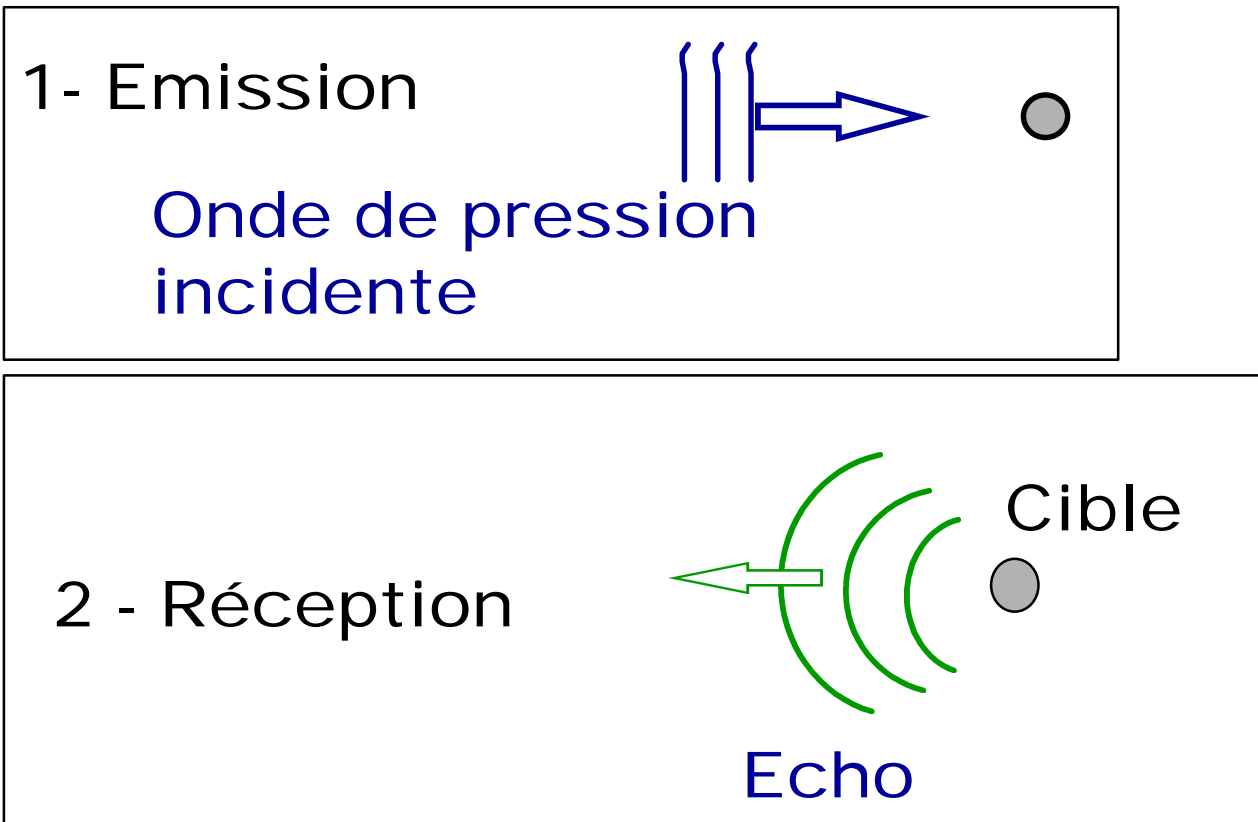
$$\sigma_d \propto N V_d^2 k^4 \cdot f(\alpha K, \alpha n)$$

- Atténuation

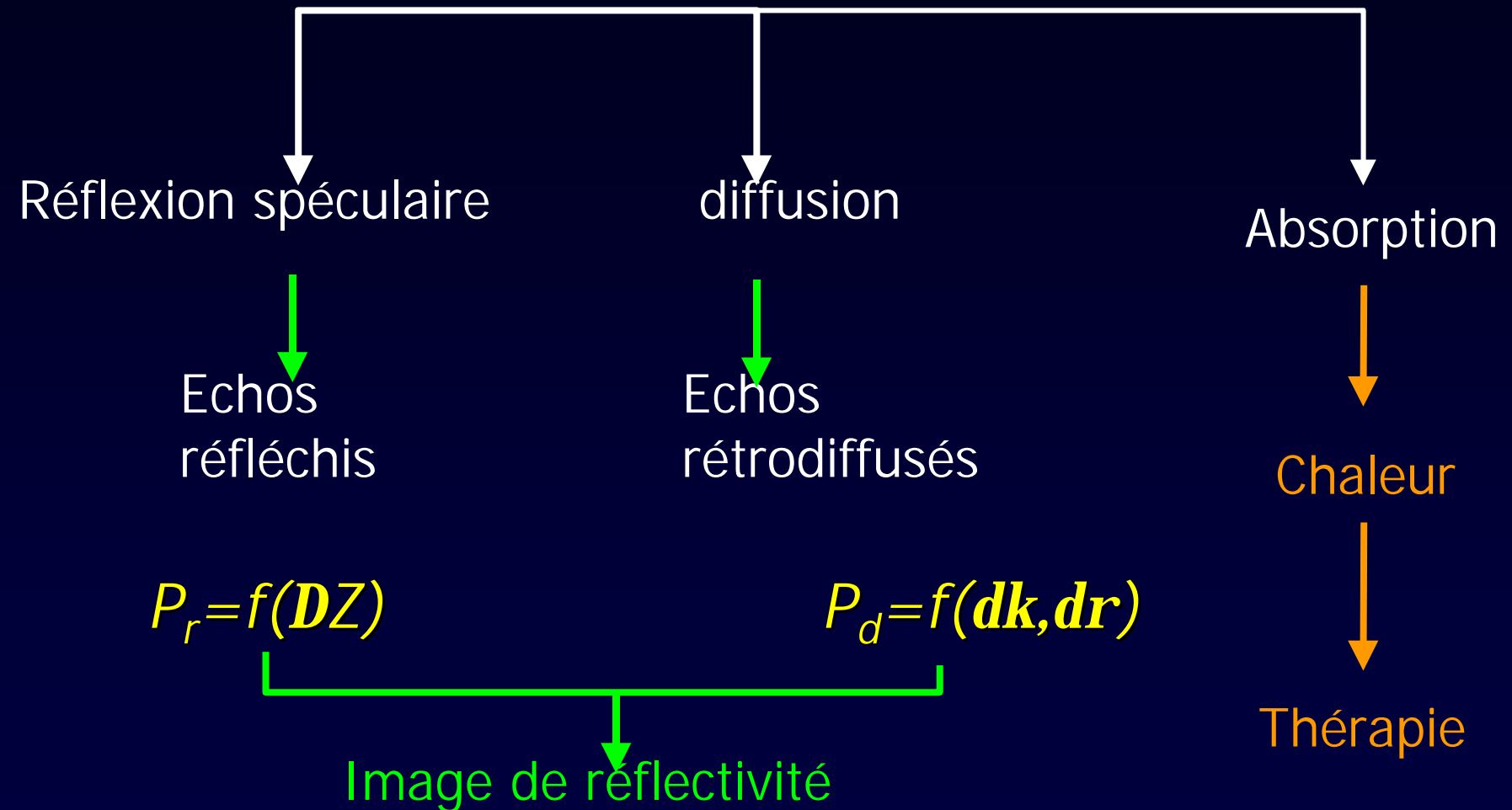
$$I(z) = I_0 e^{-\alpha(f) 2z}$$

$$\alpha(f) = \hat{\alpha} f$$

Principe général de l'échographie



Energie ultrasonore incidente



Caractéristiques du milieu de propagation

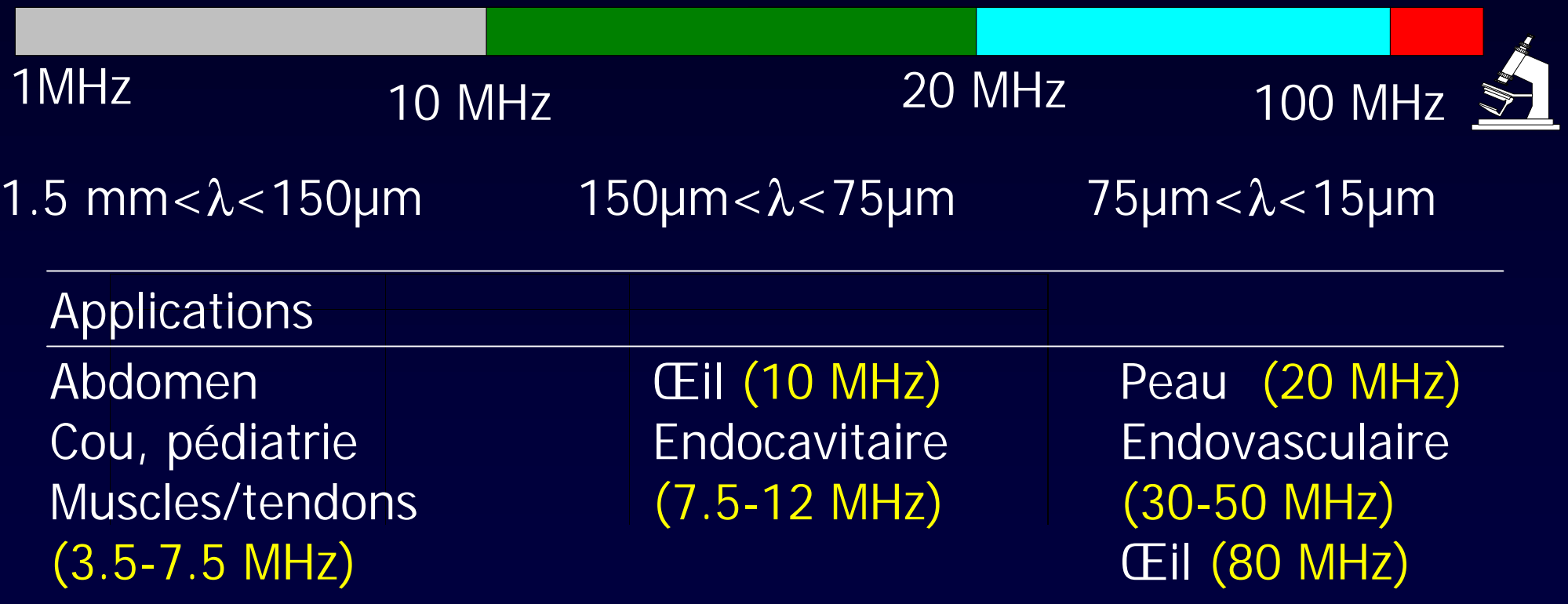
□ Atténuation

$$I(z) = I_0 e^{-\alpha(f)2z}$$
$$\alpha(f) = \hat{a}f$$

Lorsque la fréquence augmente

- la résolution augmente,
- la profondeur d'exploration diminue

Échelle de fréquence/longueur d'onde/ profondeur d'exploration



- Imagerie haute fréquence
 - Focalisation dans les milieux hétérogènes
 - Elastographie
 - Imagerie quantitative
 - Non linéaire, produits de contraste
 - ...

Imagerie très haute résolution spatiale

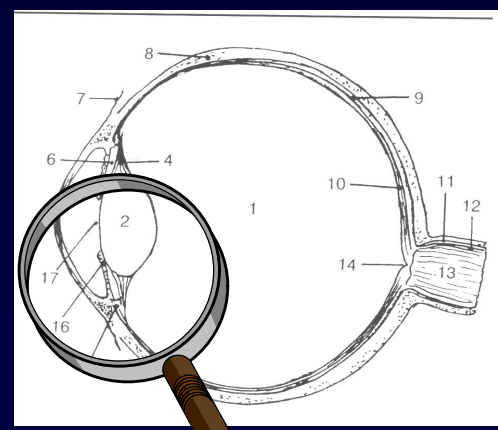
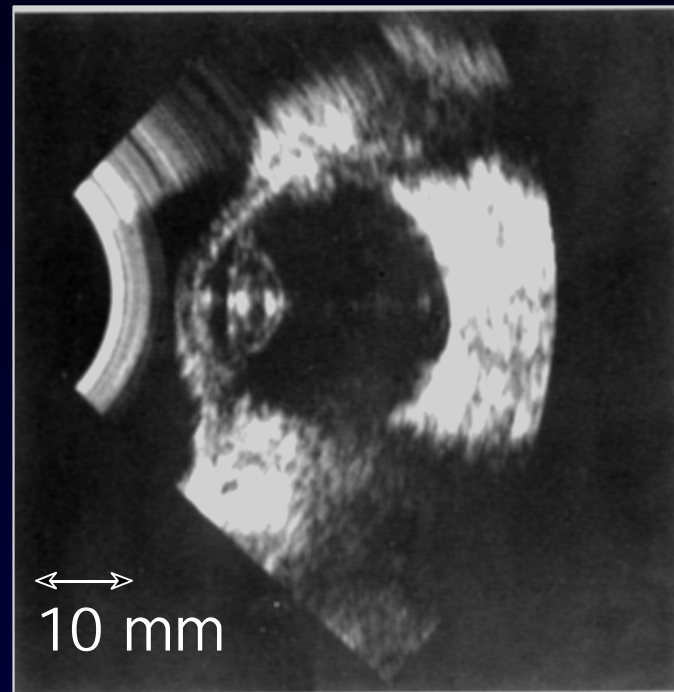
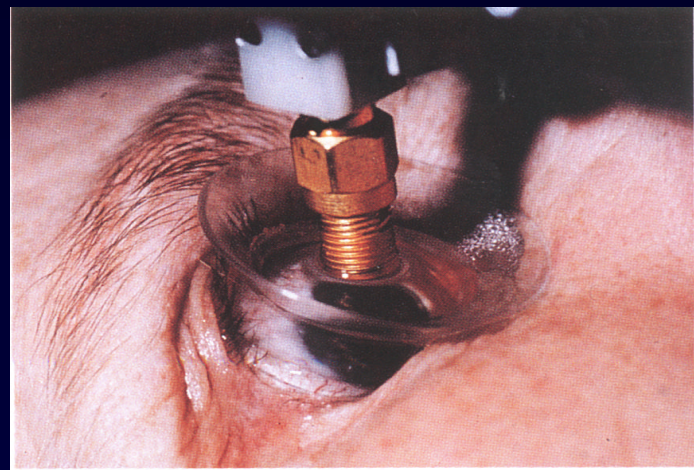
Biomicroscopie acoustique in vivo

- o Haute fréquence 20 - 80 MHz
- o Résolution spatiale 30 - 75 µm
- o faibles profondeurs d 'exploration
- o Imagerie superficielle ou par voie endocavitaire

Imagerie très haute résolution spatiale

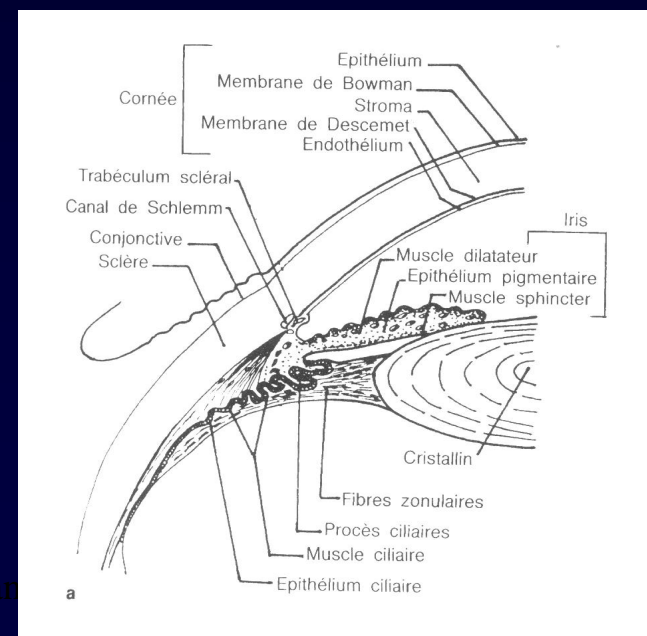
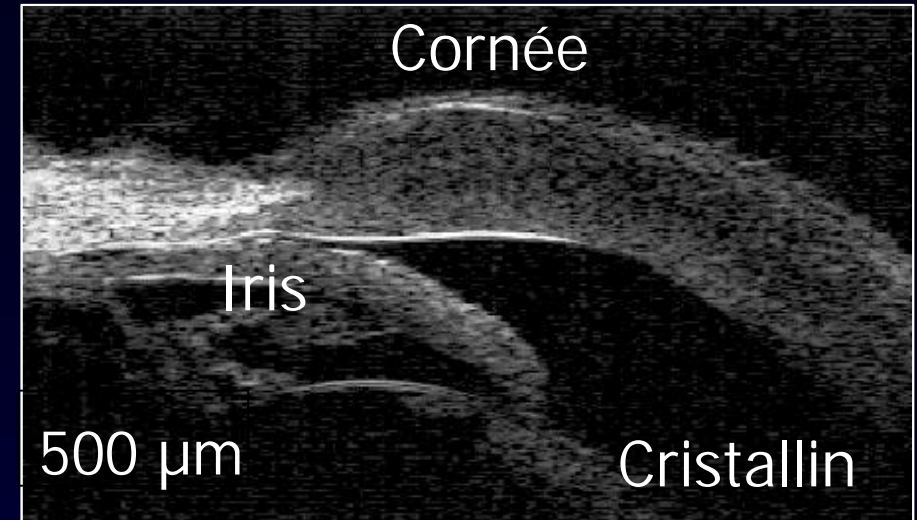
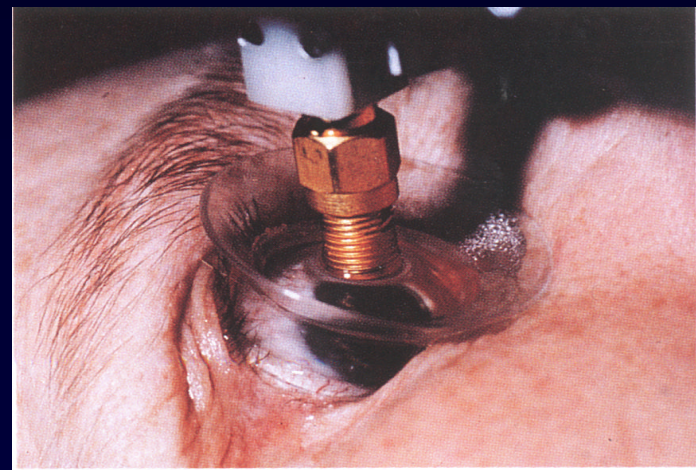
Un exemple : Ophtalmologie

Echographie de l'œil à 10 MHz (basse fréquence)

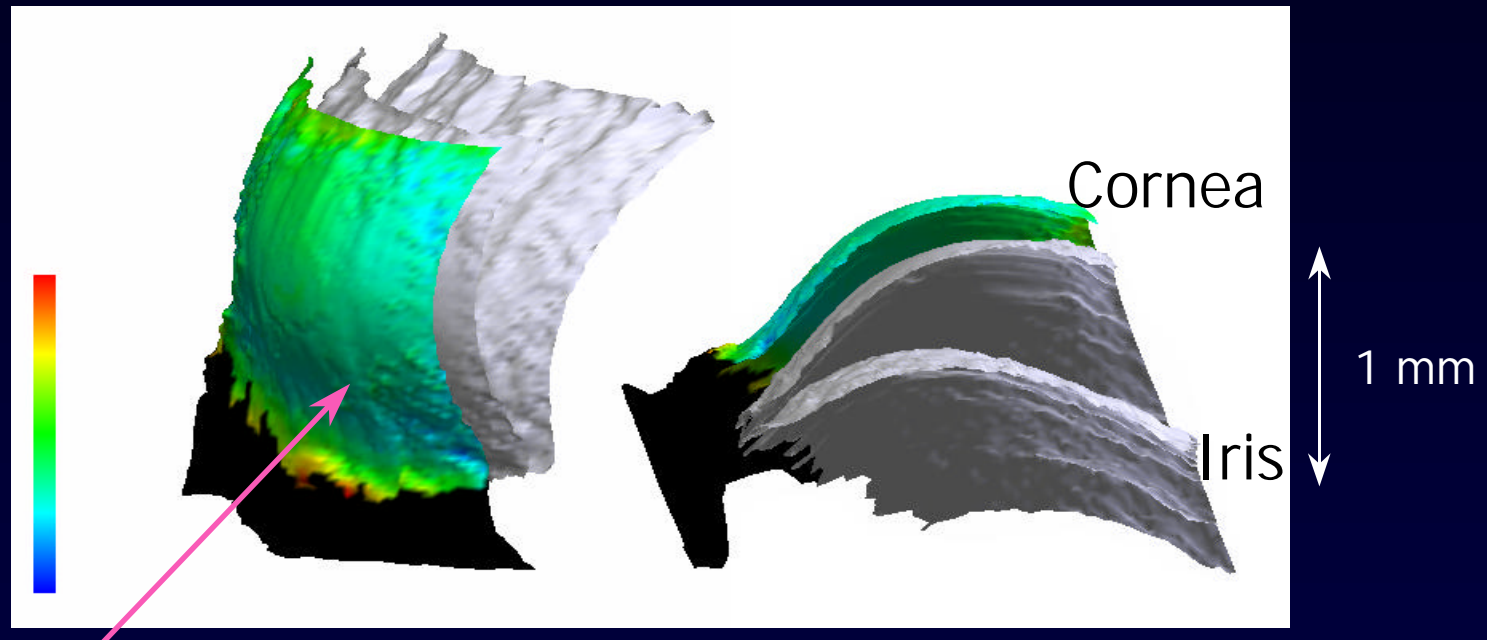


P. Laugier, LIP & M. Tanter, LOA - e2phy 2002 (Villeurbanne, 26-27 août 2002)

Echographie de l'œil à 80 MHz (haute fréquence)



3-D representation



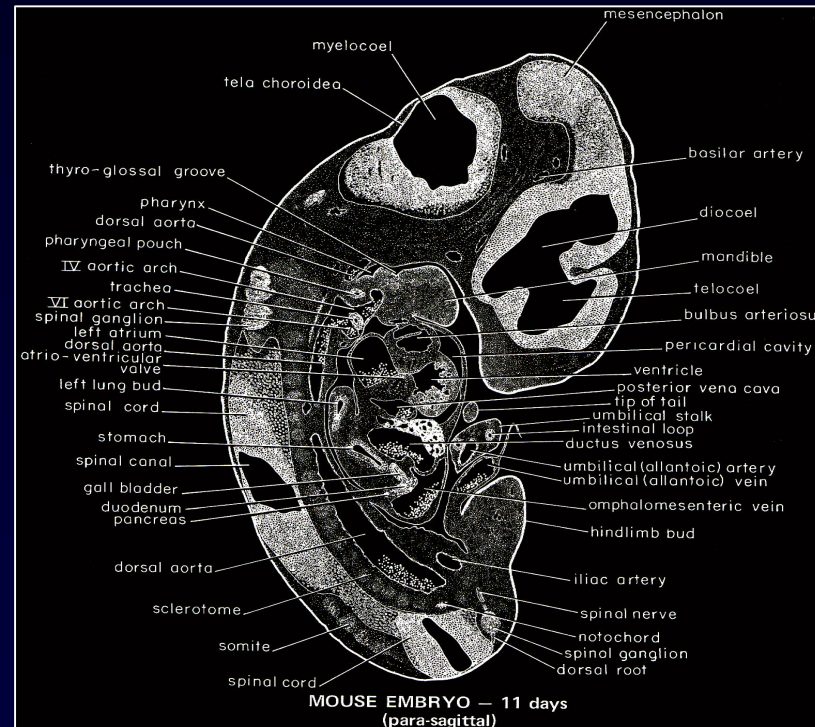
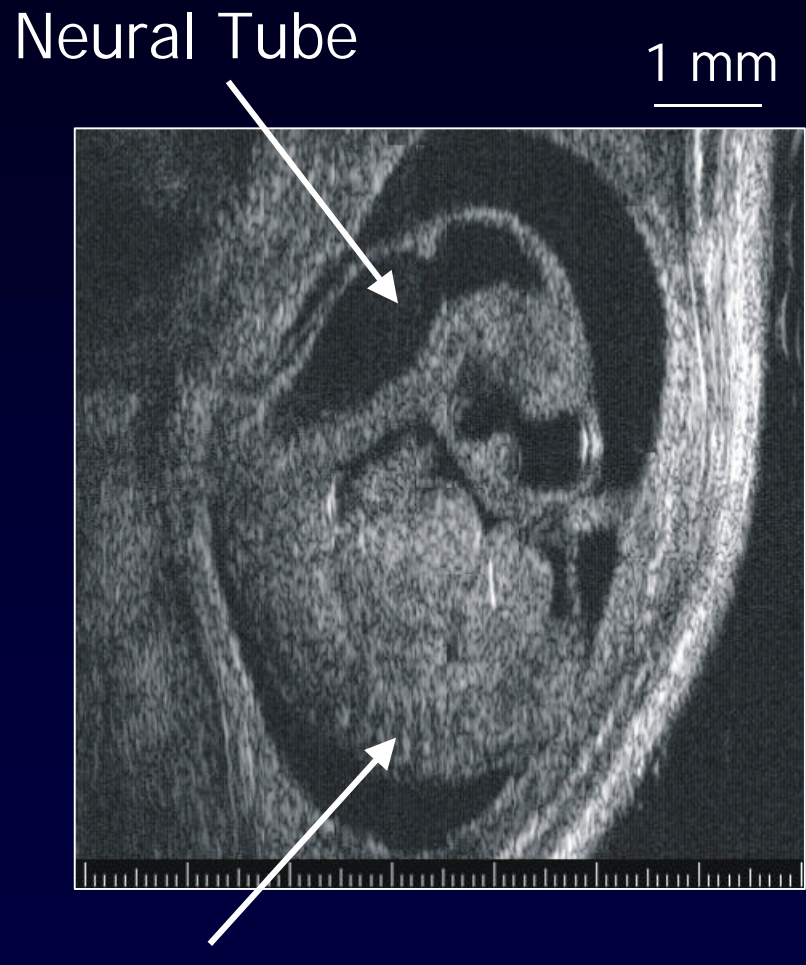
Mapping of the cornea thickness

Imagerie très haute résolution spatiale

De l'Homme à la Souris

Embryonic Development

Embryonic day 11.5

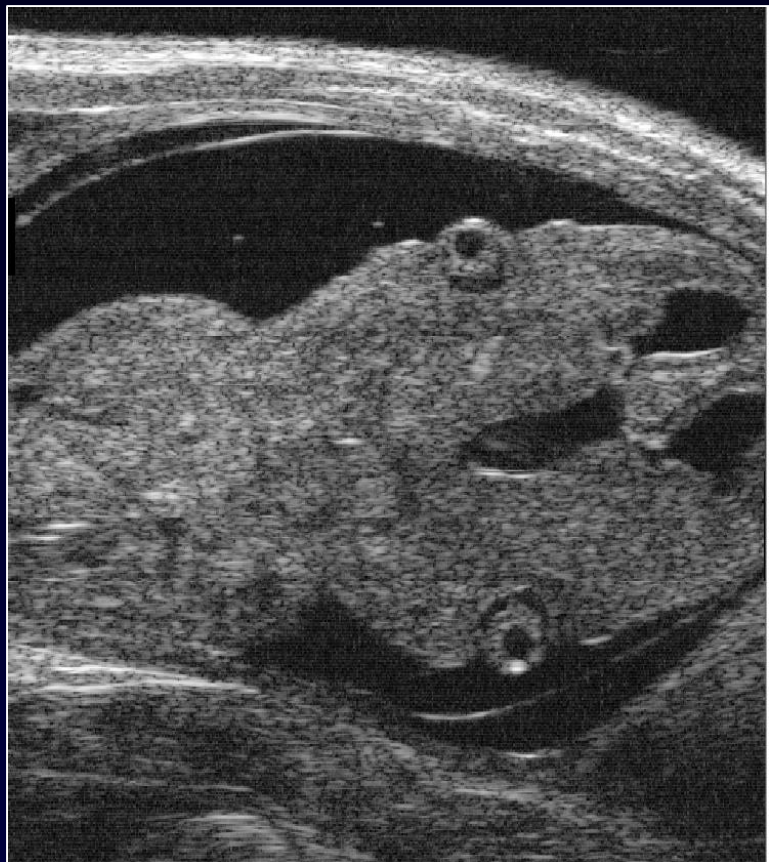


Rugh, 1994. The Mouse: Its reproduction and Development. Oxford Science Publications.

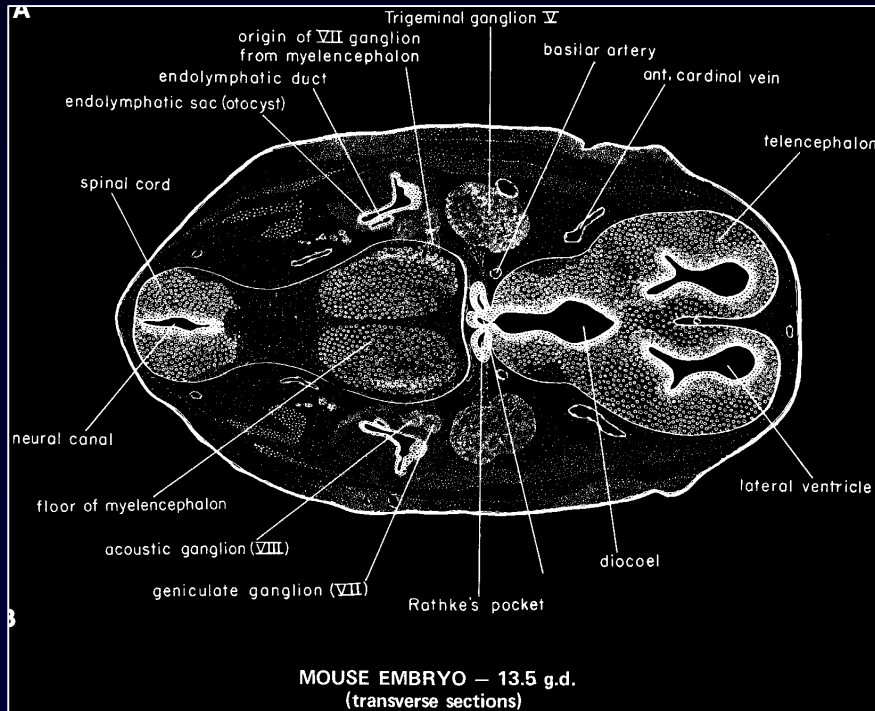
Somites

P. Laugesen, T. M. Tuck, S. Foster et al., *Computational Modelling of the Human Ear*, Springer, 2012, pp. 29-50.

Embryonic day 13.5



1 mm

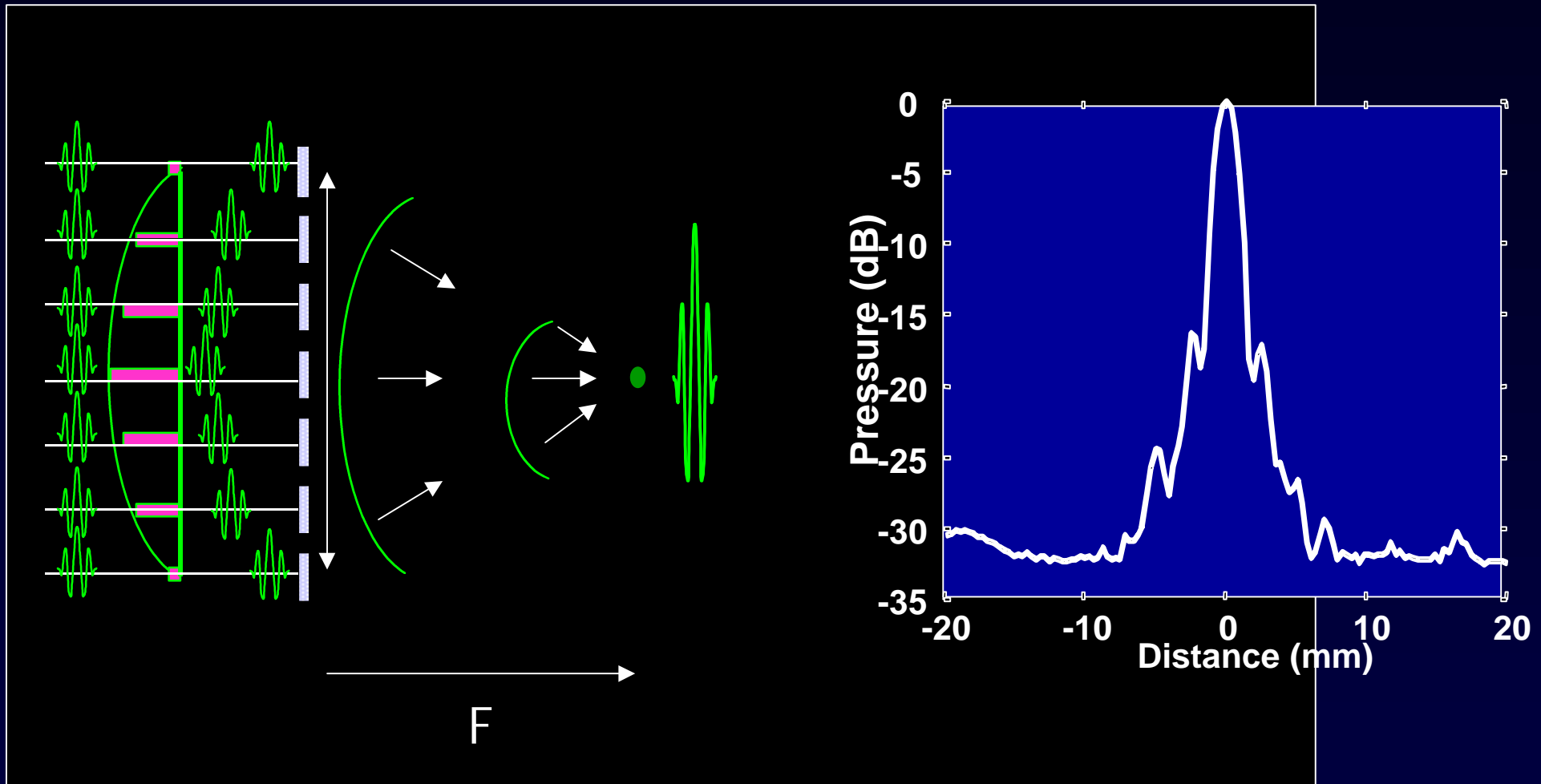


Rugh, 1994. The Mouse: Its reproduction and Development. Oxford Science Publications.

P. Laugier, LIP & M. Tandler, ICBP eZphy 2002 (Vincenzini, 20-2) and 2002
Courtesy of S Foster et al, University of Toronto, Canada

- Imagerie haute fréquence
- Focalisation dans les milieux hétérogènes
- Imagerie quantitative
- Elastographie
- Non linéaire, produits de contraste
- ...

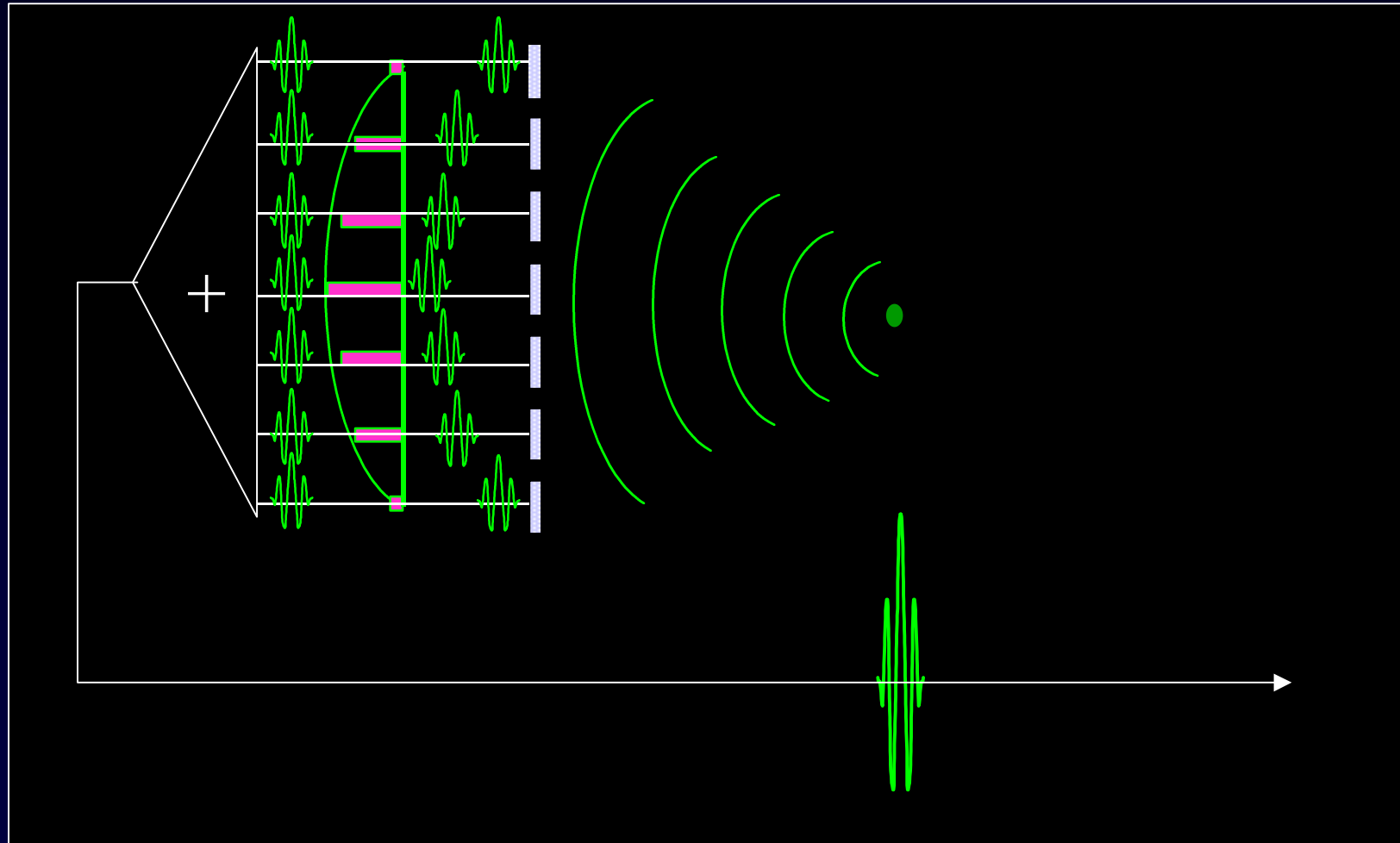
Focalisation à l'émission



Focalisation par retards analogiques ou numériques

T. Daugier, LIP & M. Tanne, LOA, CEPHY 2002 (Villeurbanne, 26-29 aout 2002)

Focalisation dynamique en réception



Focalisation par retards analogiques ou numériques



P. Laugier, LIP & M. Tanter, LOA - e2phy 2002 (Villeurbanne, 26-29 août 2002)

Vitesse de propagation dans les tissus biologiques

Milieu	célérité (m/s)
Eau	1480
Air	340
Sang	1566
Graisse	1460
Foie	1560
Muscle	1600
Peau	1700
Os cortical	4000

Focusing through the skull

Experimental setup

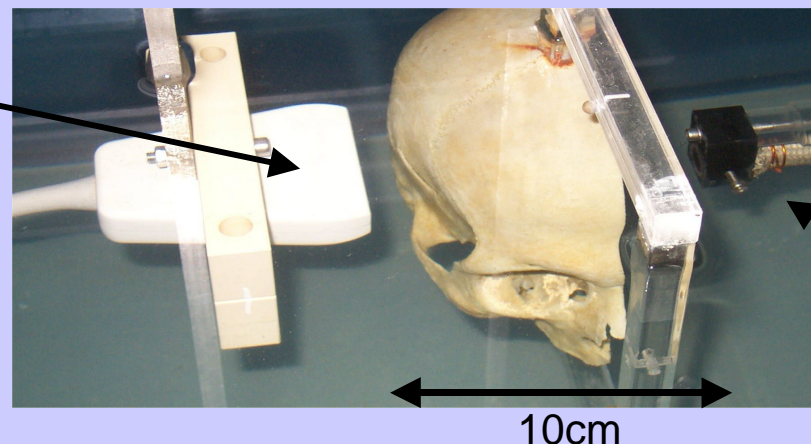
Linear array of transducers:

128 elements

$\lambda/2$ array pitch

central frequency: 1.5MHz

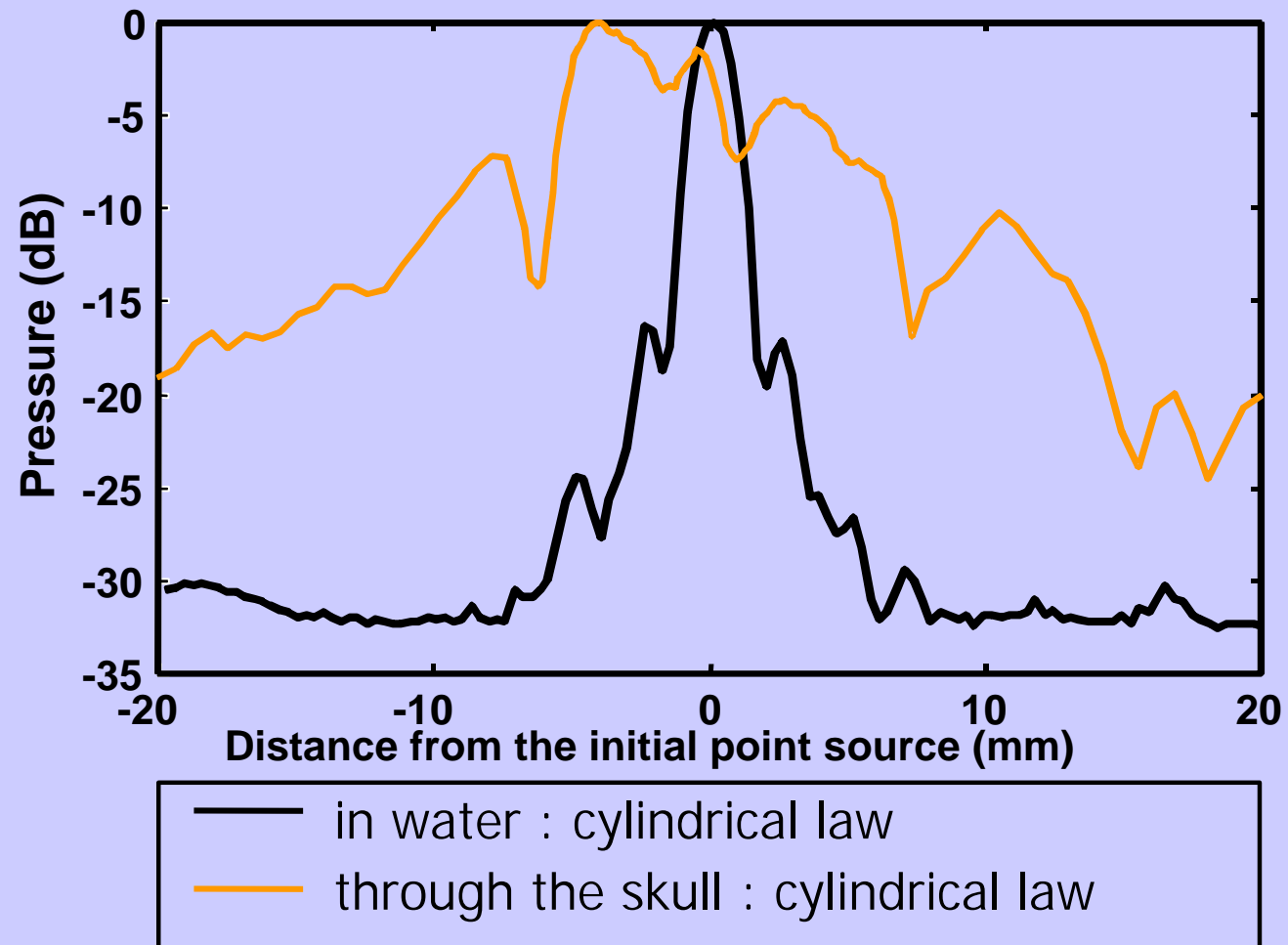
70 mm total aperture



Hydrophone

Focusing through the skull : cylindrical law

Experimental results



Time reversal in non dissipative fluid

$p(\vec{r}, t)$ acoustic pressure field (scalar)

$\rho(\vec{r})$ is the density and $c(\vec{r})$ is the sound velocity

In linear acoustic \rightarrow

$$\rho(\vec{r}) \operatorname{div} \left(\frac{\operatorname{grad}(p)}{\rho(\vec{r})} \right) - \frac{1}{c^2(\vec{r})} \frac{\partial^2 p}{\partial t^2} = 0$$

Spatial reciprocity

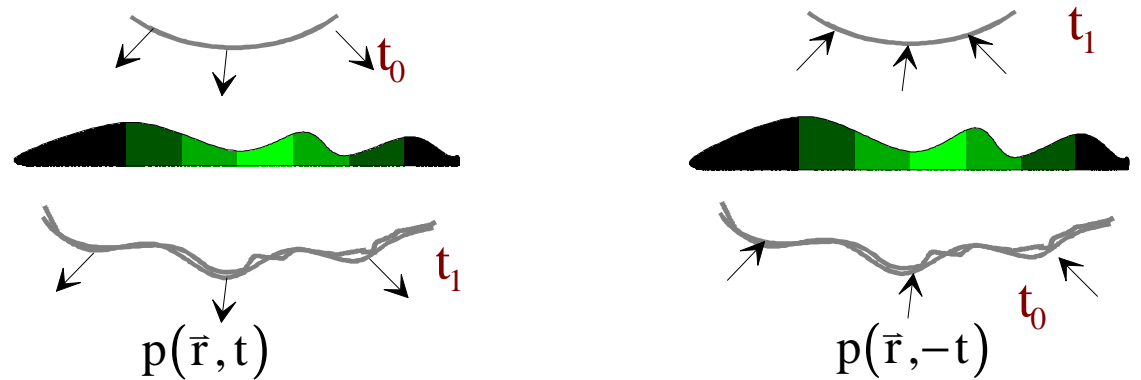
Time reversal invariance

This equation contains only $\frac{\partial^2 p(\vec{r}, t)}{\partial t^2}$

Then if $p(\vec{r}, t)$ is a solution

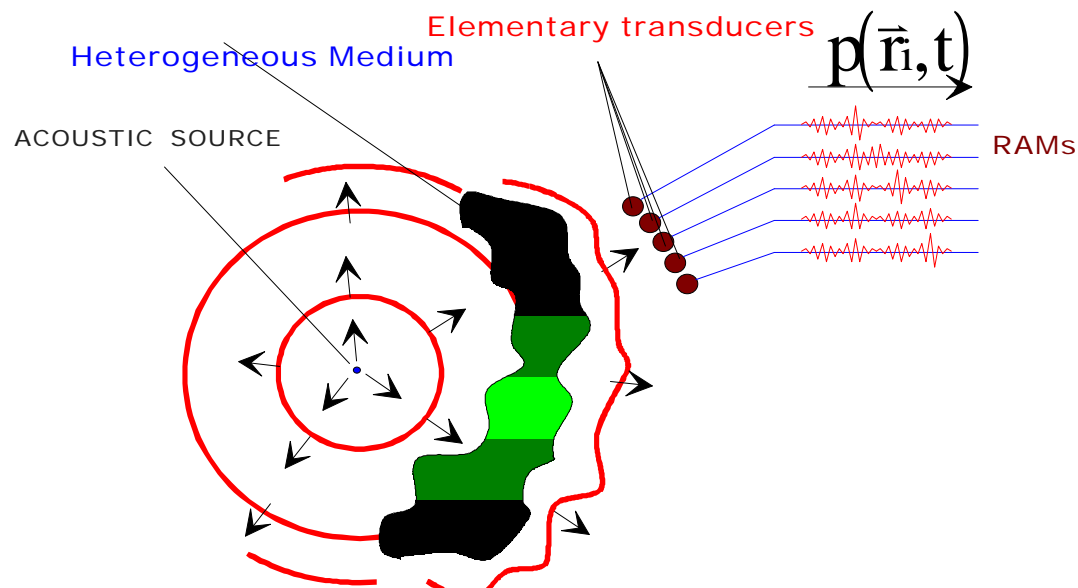
$p(\vec{r}, -t)$ is also a solution

because $\frac{\partial^2 p(\vec{r}, t)}{\partial t^2} = \frac{\partial^2 p(\vec{r}, -t)}{\partial t^2}$

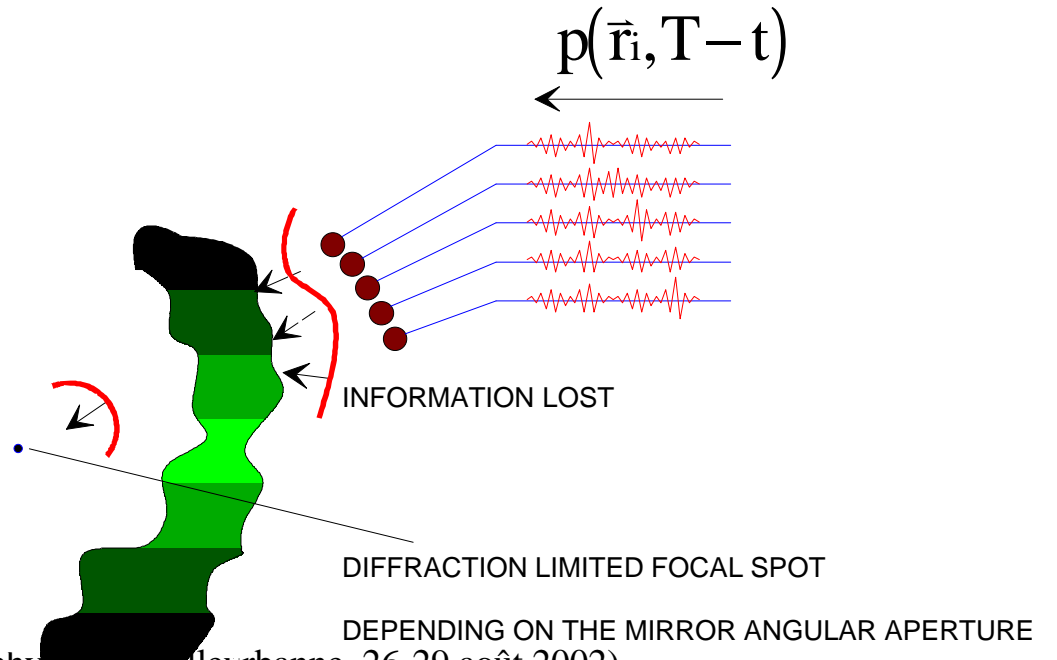


TIME REVERSAL MIRROR

RECEIVE MODE



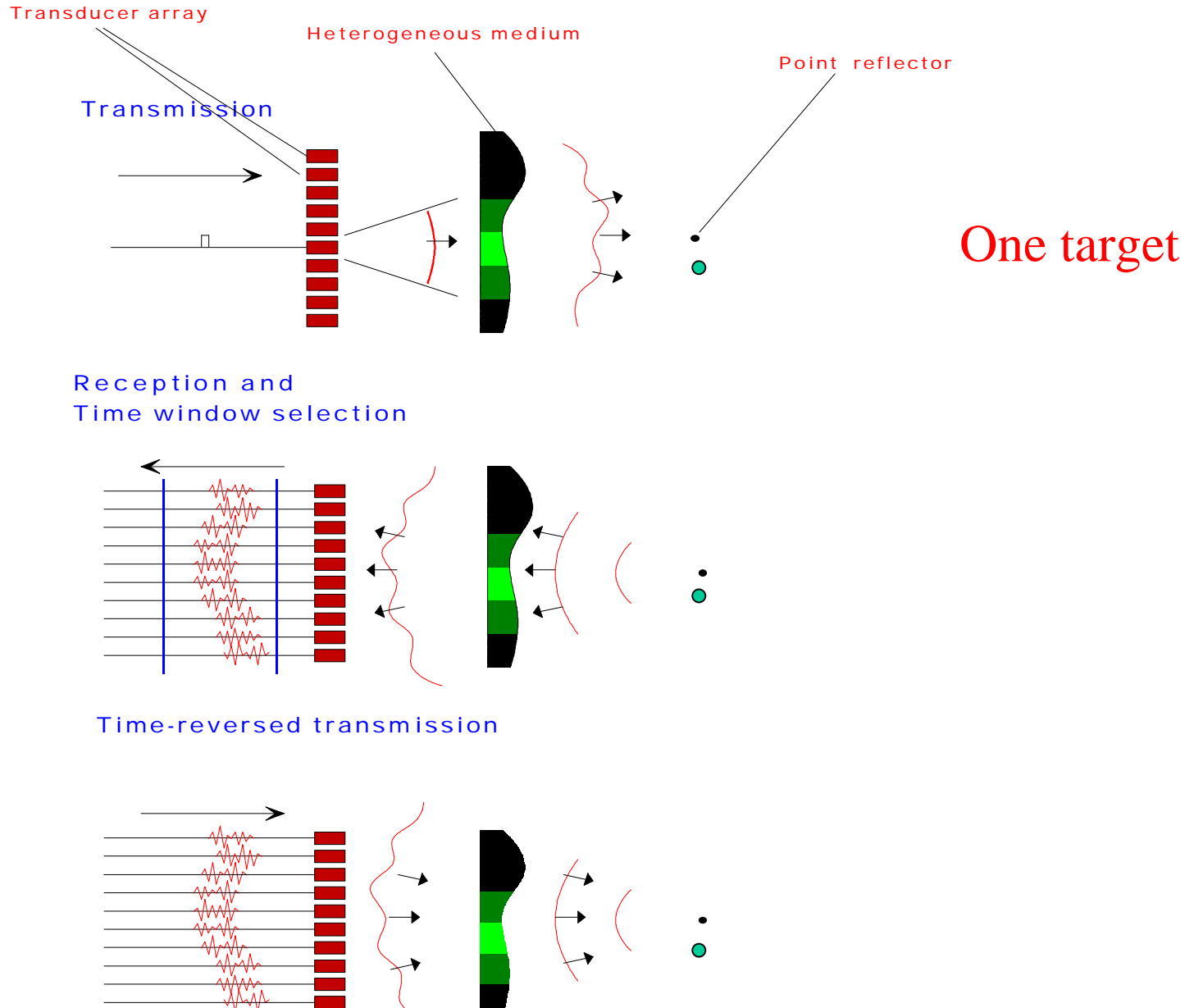
TRANSMIT MODE



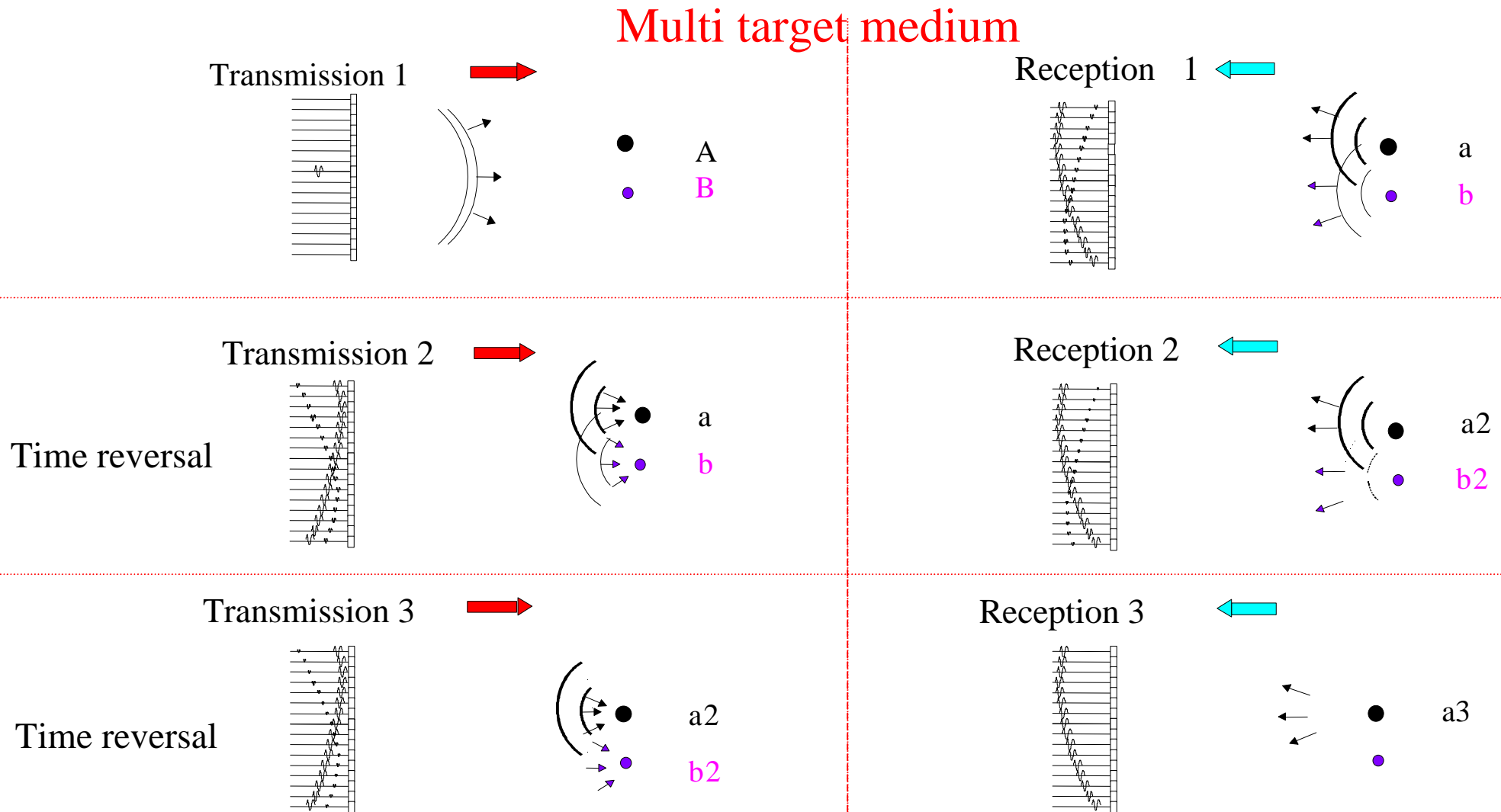
P. Laugier, LIP & M. Tanter, LOA - e2phys.net (Lilleurbanne, 26-29 août 2002)

Theory by D. Cassereau, D. Jackson, D.R. Dowling

AUTOFOCUS IN PULSE ECHO MODE

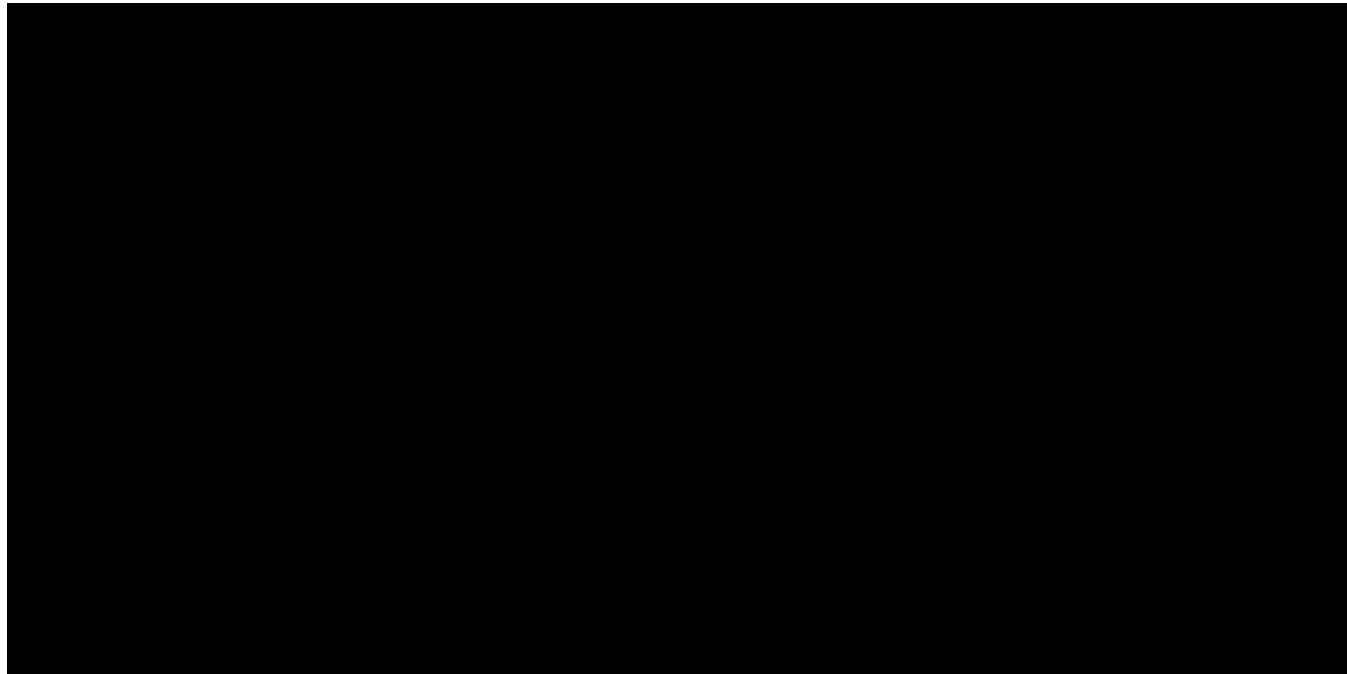


The Iterative Time Reversal Process



P. Laugier, LIP & M. Tanter, LOA - e2phy 2002 (Villeurbanne, 26-29 août 2002)

C.Prada



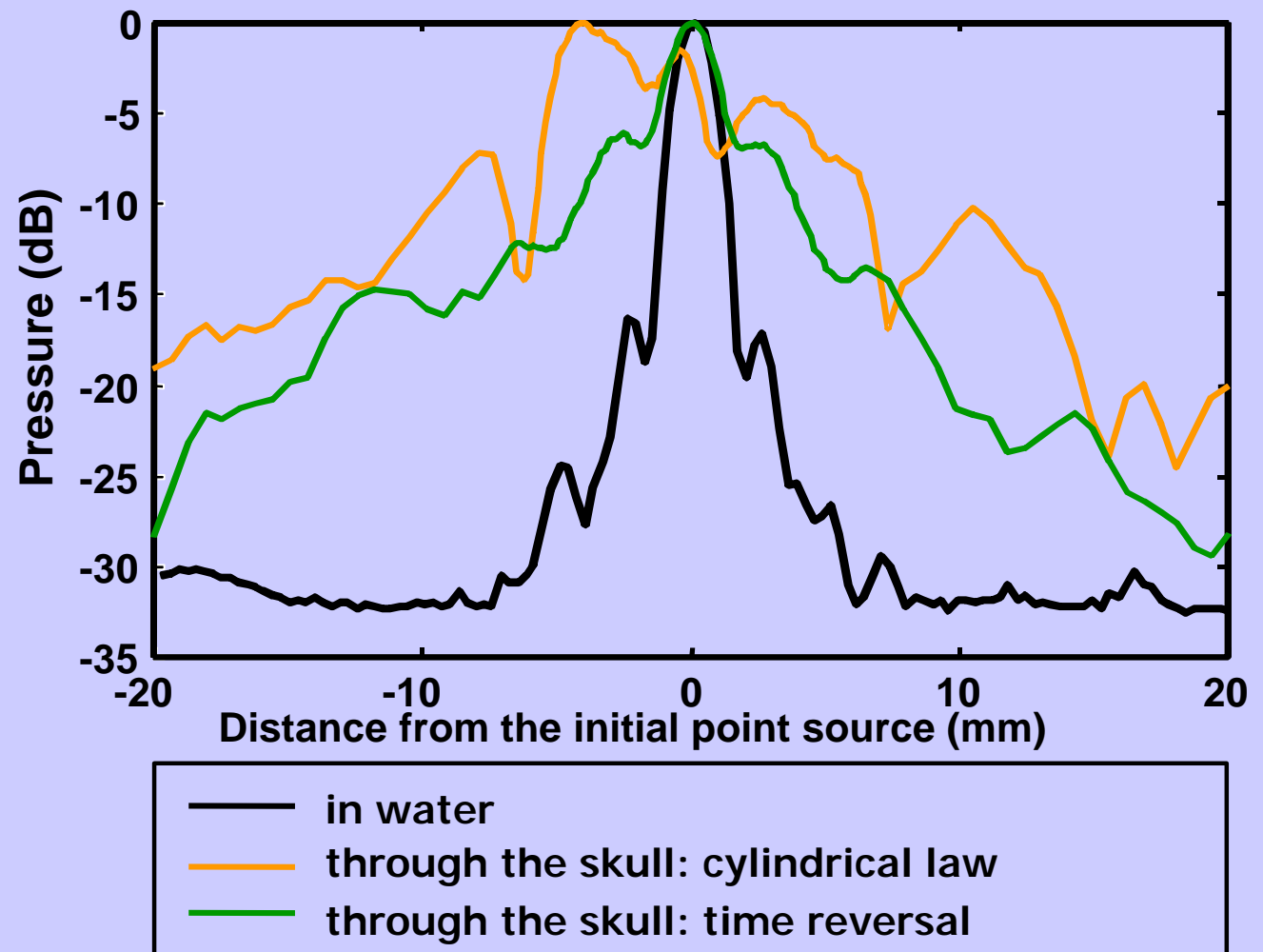
Application of TRM to Lithotripsy

J.L. Thomas, F. Wu, LOA

Time reversal through the skull

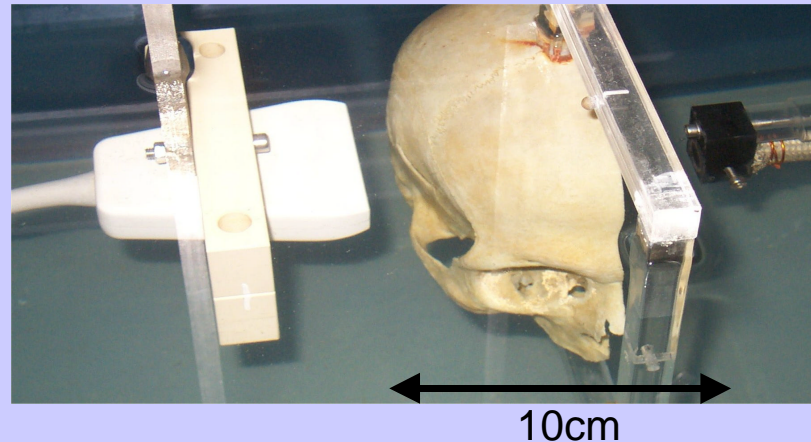


Experimental results

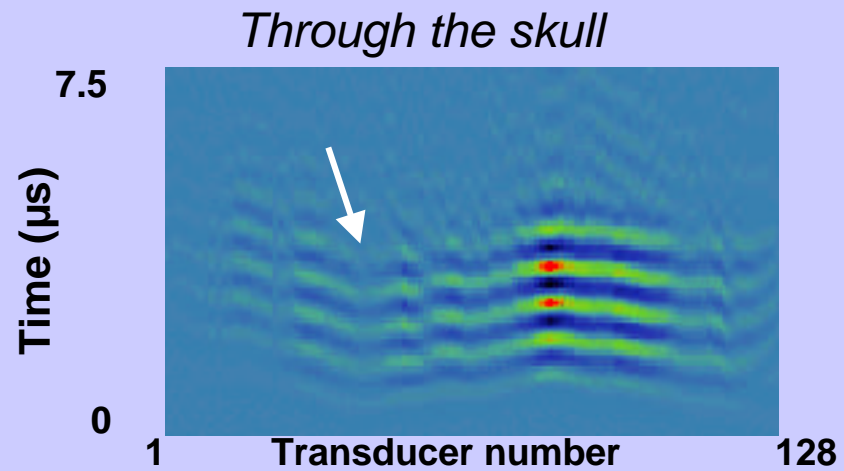
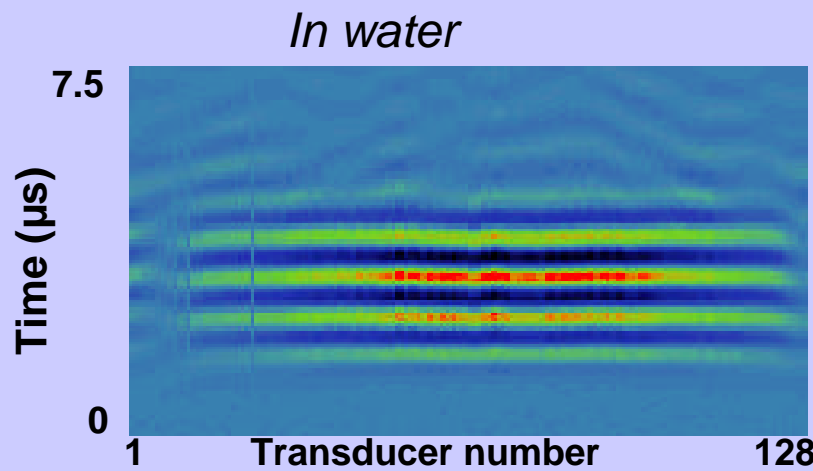


Time reversal through the skull

Experimental setup



Effects of the skull on the wave front



P. Laugier, LIP & M. Tanter, LOA - e2phy 2002 (Villeurbanne, 26-29 août 2002)

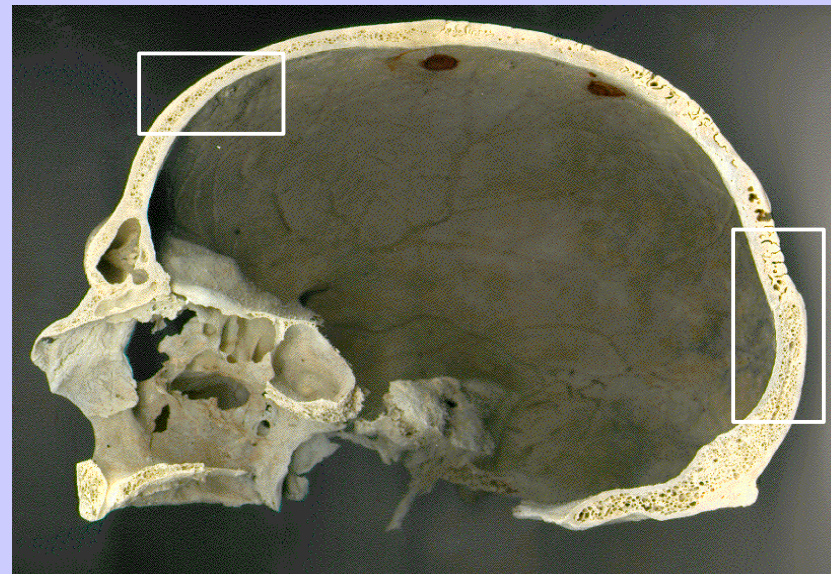
Influence of the trabecular bone on the acoustic propagation



Diploë :Porous zone
(c = 2700 m.s⁻¹)

External wall
(c = 3000 m.s⁻¹)

Internal wall
(c = 3000 m.s⁻¹)



P. Laugier, LIP & M. Tanter, LOA - e2phy 2002 (Villeurbanne, 26-29 août 2002)

Time reversal in an heterogeneous absorbing medium

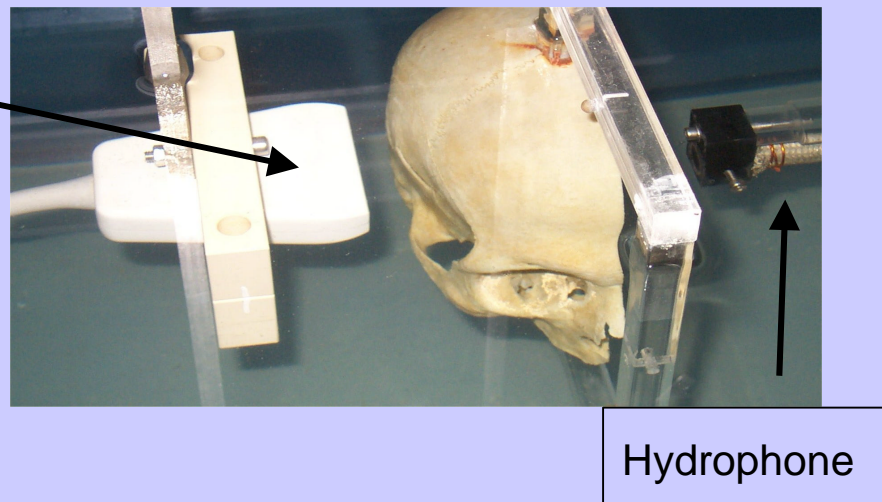
Theory

Wave equation in fluids :

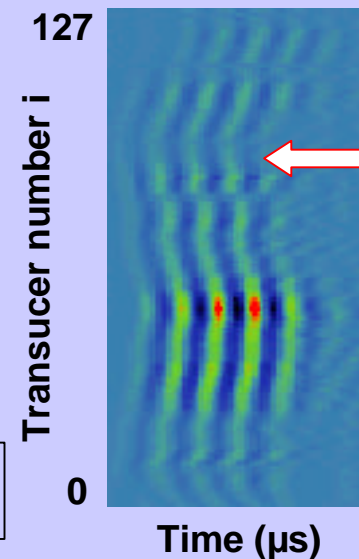
$$\left(1 + \mathbf{t}(\vec{r}) \frac{\partial}{\partial t}\right) \mathbf{r}(\vec{r}) \operatorname{div} \left(\frac{\overrightarrow{\operatorname{grad}} p(\vec{r}, t)}{\mathbf{r}(\vec{r})} \right) - \frac{1}{c^2(\vec{r})} \frac{\partial^2 p(\vec{r}, t)}{\partial t^2} = 0$$

Breaking the time reversal invariance

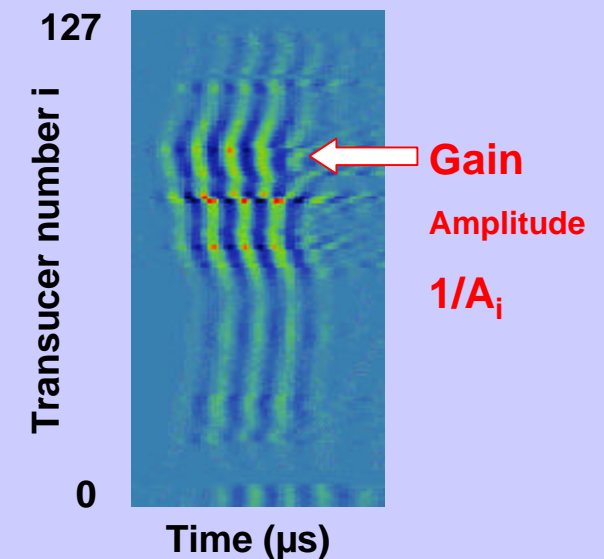
Experimental setup



Received wave front



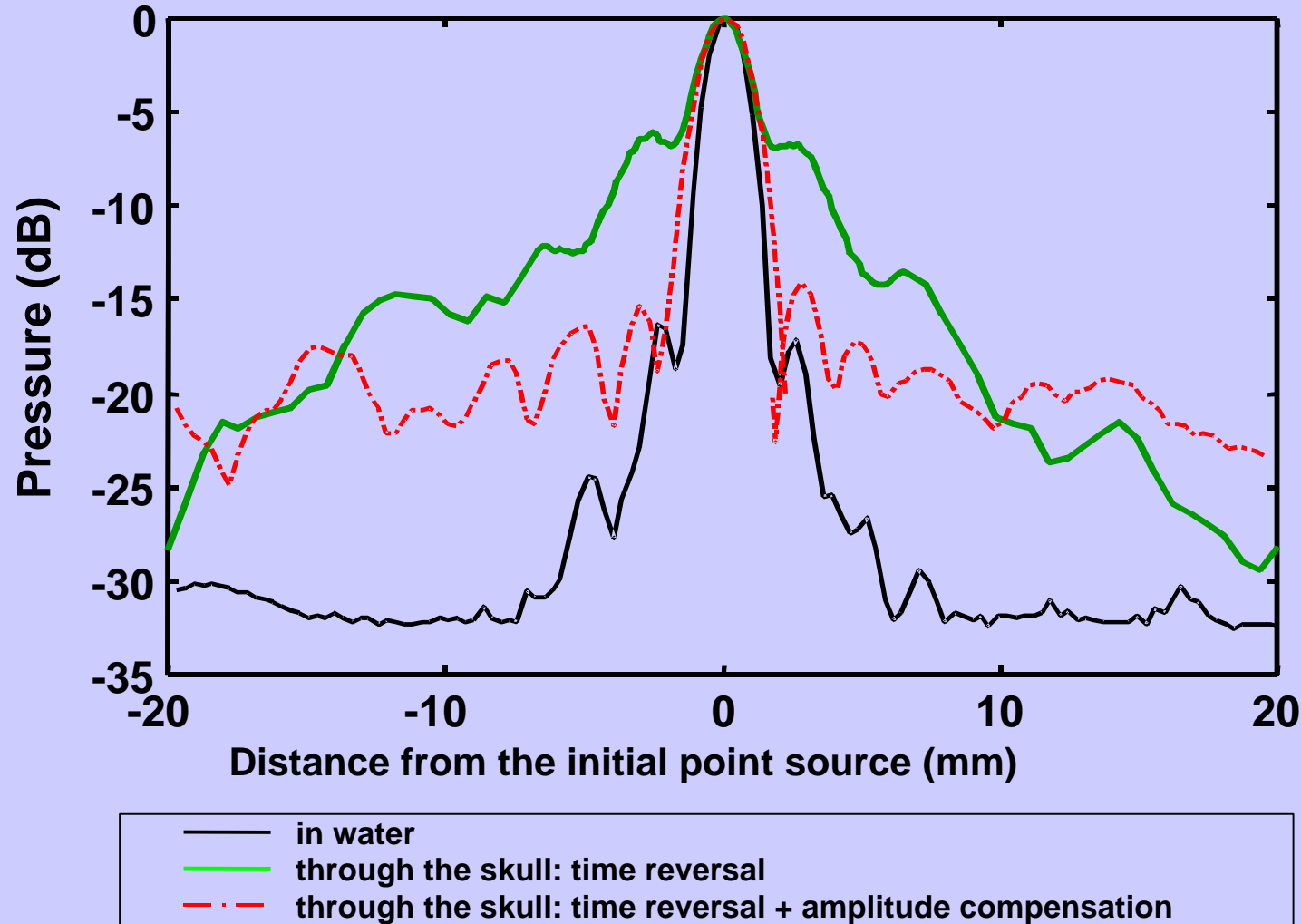
Corrected wave front



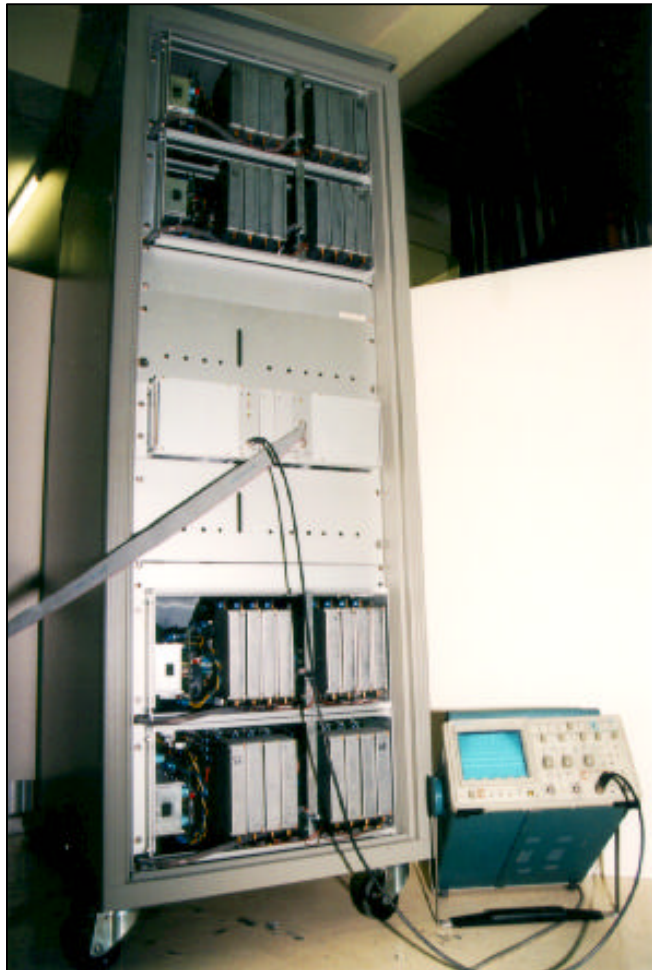
Amplitude compensation

Time reversal in heterogeneous absorbing media

Experimental results



High Power Time Reversal Mirror for Hyperthermia



Electronic

- 64 Channels T/R 18 W
- 64 Transducers (1 MHz, 7 bars)
- Geometrical focus 100 mm
- Acoustic Power at the focus
 6000 W.cm^{-2}



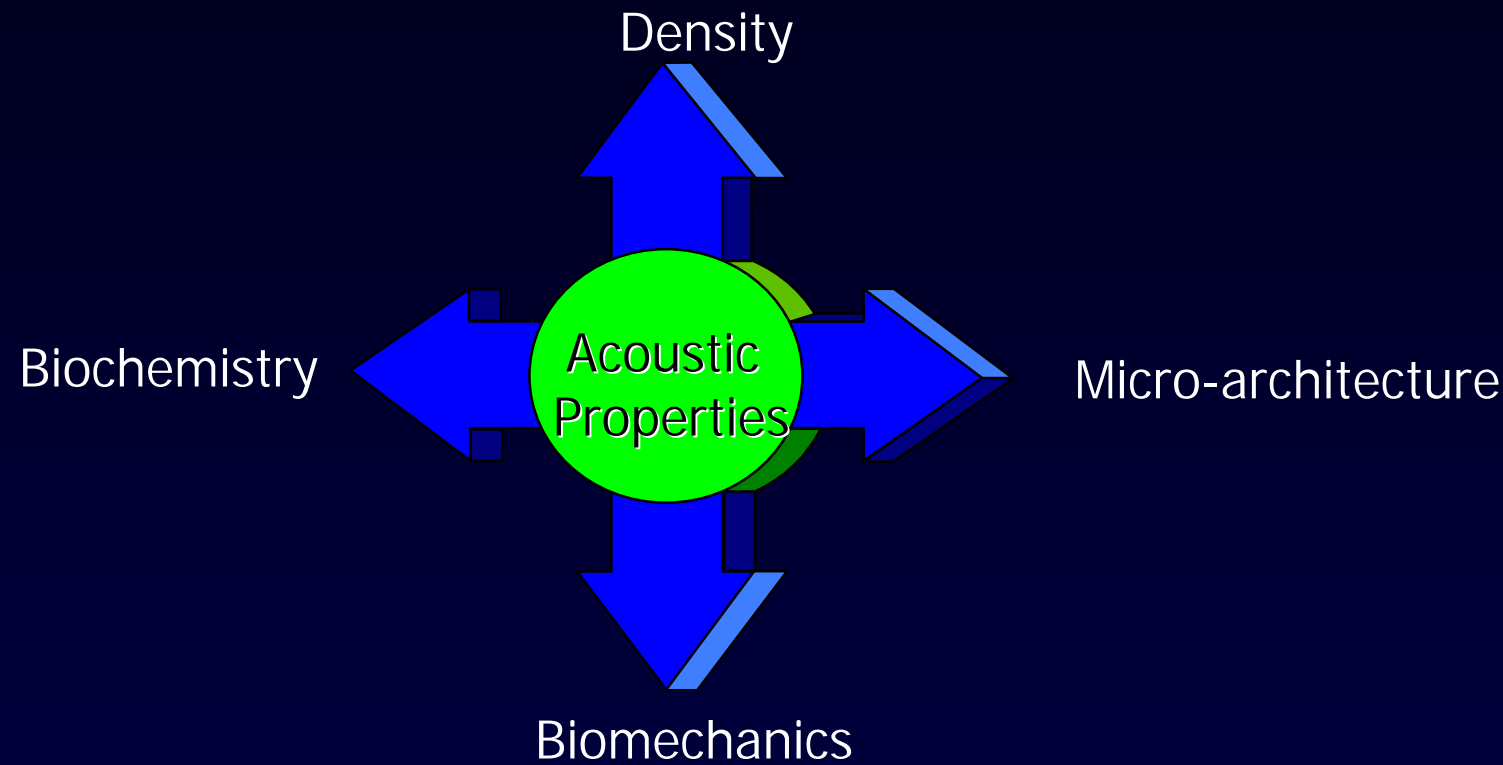
Transducers array

P. Laugier, LIP & M. Tanter, LOA - e2phy 2002 (Villeurbanne, 26-29 août 2002)

M. Tanter, J.L. Thomas, J.F. Aubry, LOA

- Imagerie haute fréquence
- Focalisation dans les milieux hétérogènes
- Imagerie quantitative**
- Elastographie
- Non linéaire, produits de contraste
- ...

ULTRASOUND TISSUE CHARACTERIZATION



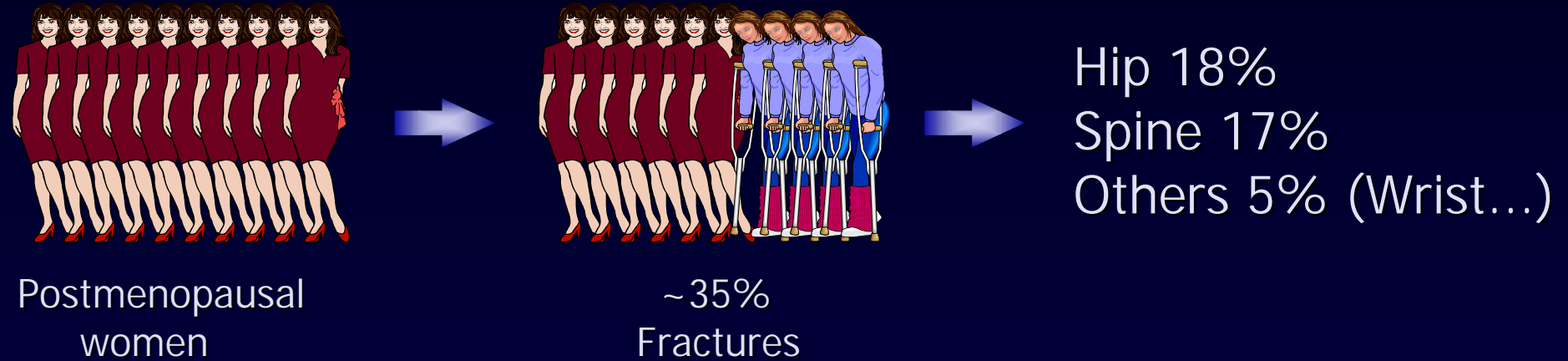
Notion d 'information complémentaire

Méthodes ultrasonores d'évaluation des propriétés osseuses: principes et techniques

P. Laugier, LIP & M. Tanter, LOA - e2phy 2002 (Villeurbanne, 26-29 août 2002)

Osteoporosis : A Major Public Health Problem

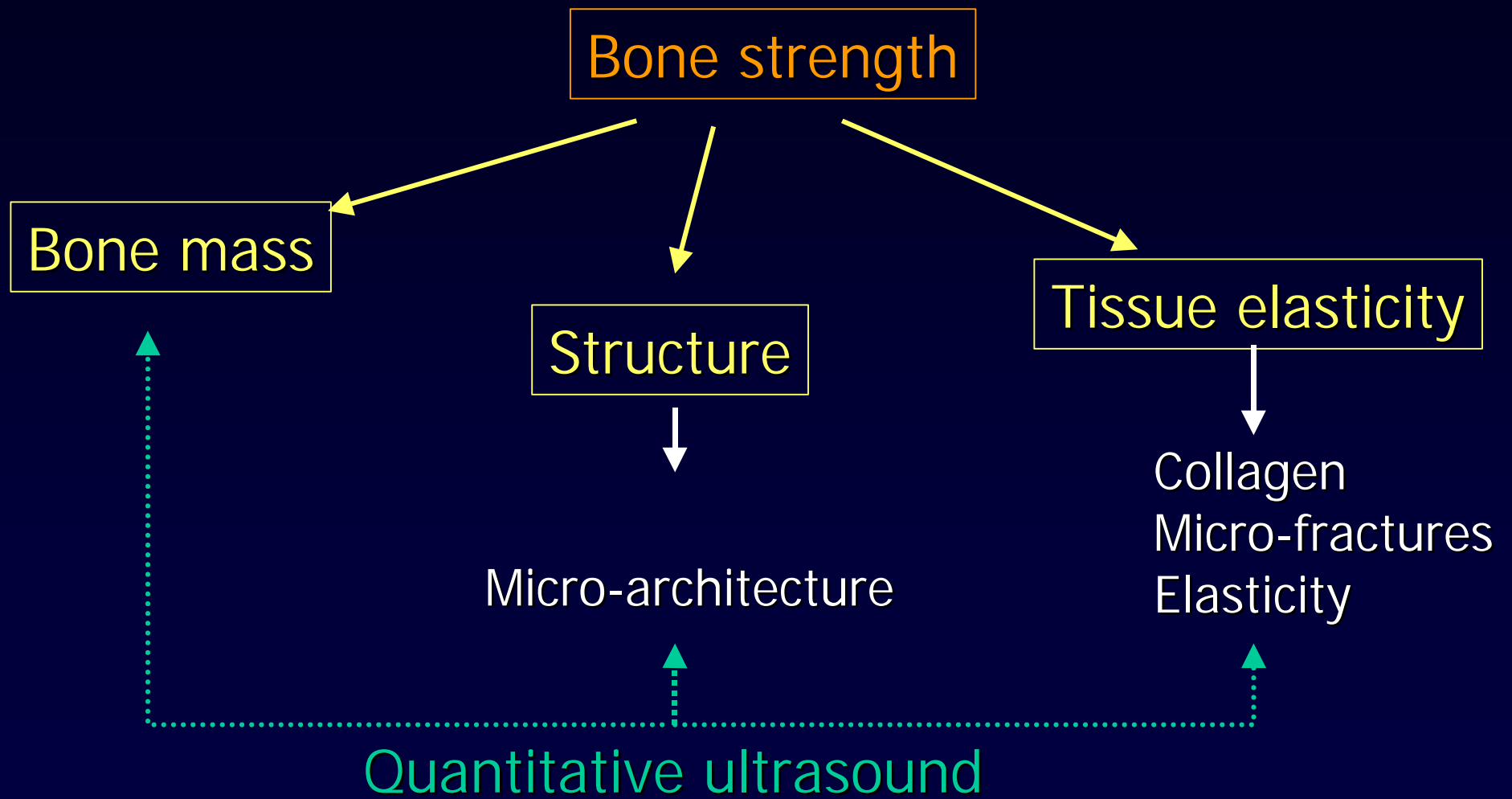
- q Most common metabolic bone disease in women



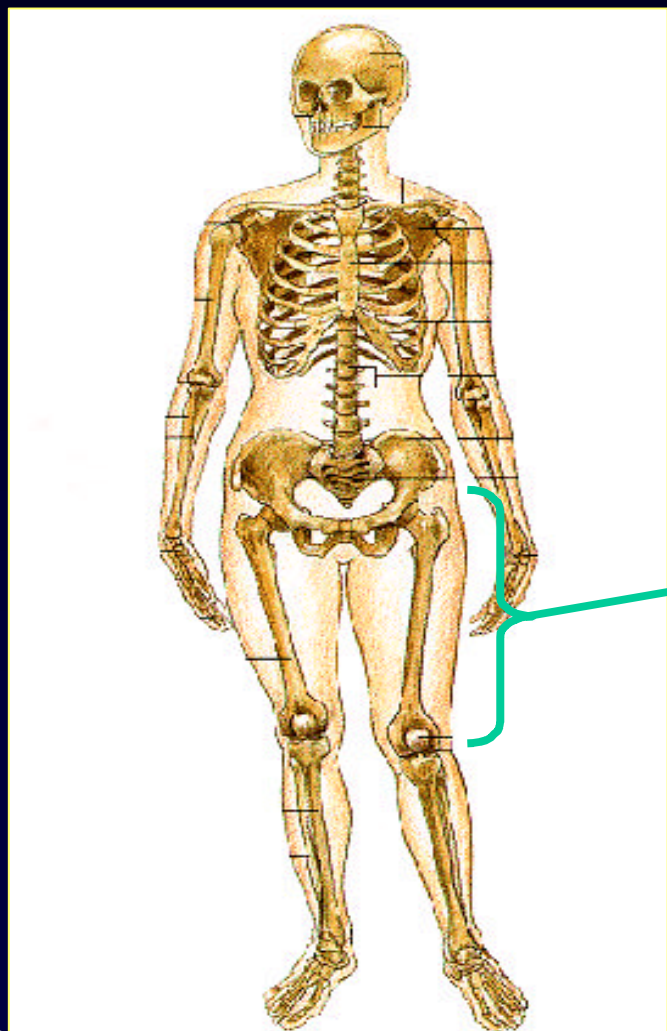
- q Drugs to reduce fracture risk

→ Prevention : evaluate the factors of fracture risk

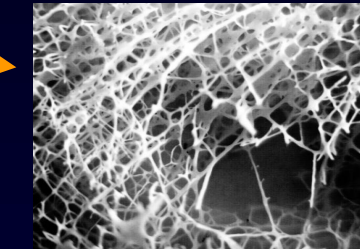
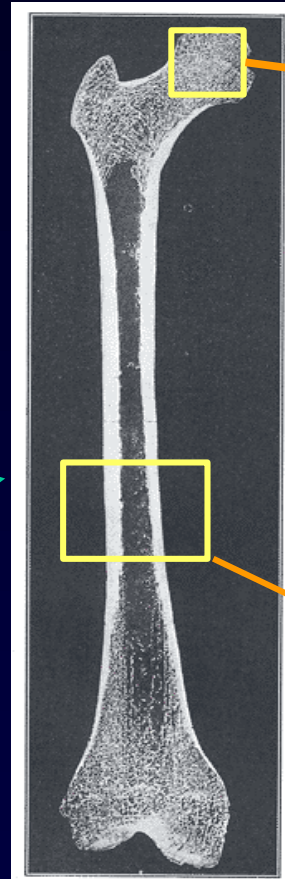
Skeletal factors of fracture risk



Architecture of bone



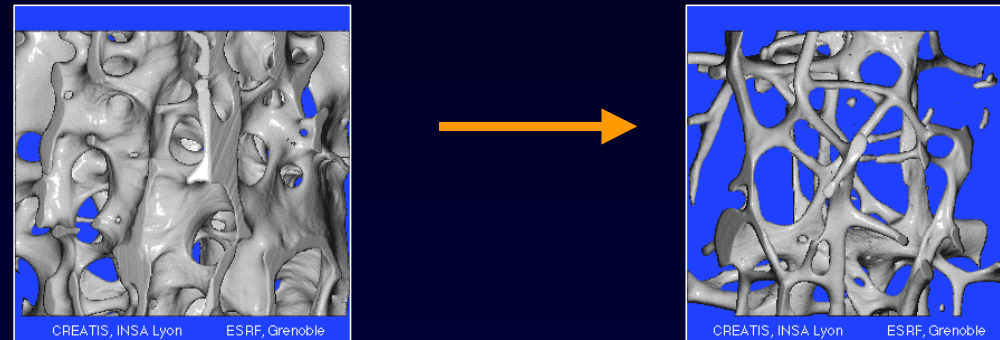
Cancellous bone



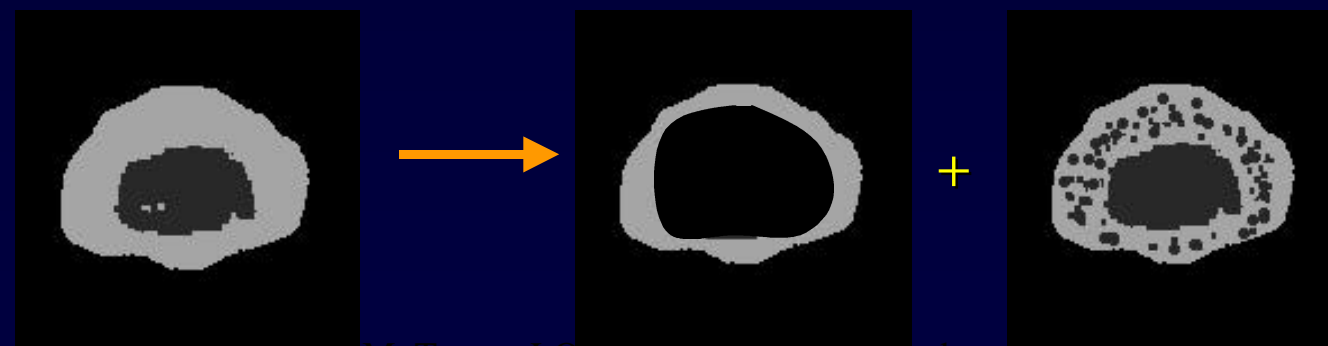
Cortical bone

Mechanisms of bone loss

Cancellous bone : thinning of trabeculae and disruption of connectivity



Cortical bone endosteal resorption + increased porosity



Transverse transmission

Skeletal site :

Calcaneus (heel)

Finger phalanges

Type of bone

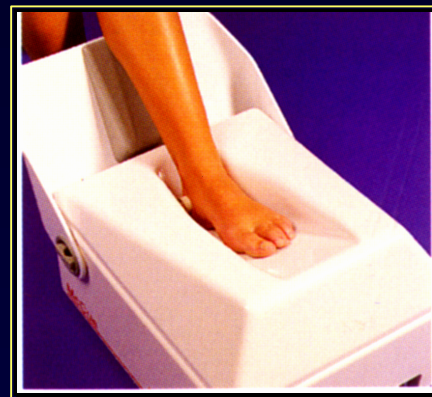
90% Cancellous bone

Integral bone

Frequency :

500 kHz

1.25 MHz



Typical range of values

Attenuation

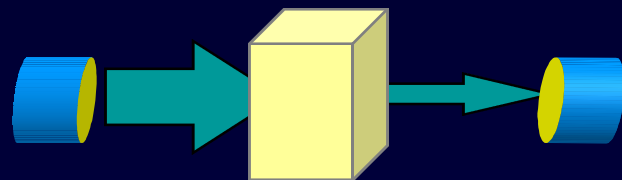
$2-40 \text{ dB.cm}^{-1}.\text{MHz}^{-1}$

Speed of sound

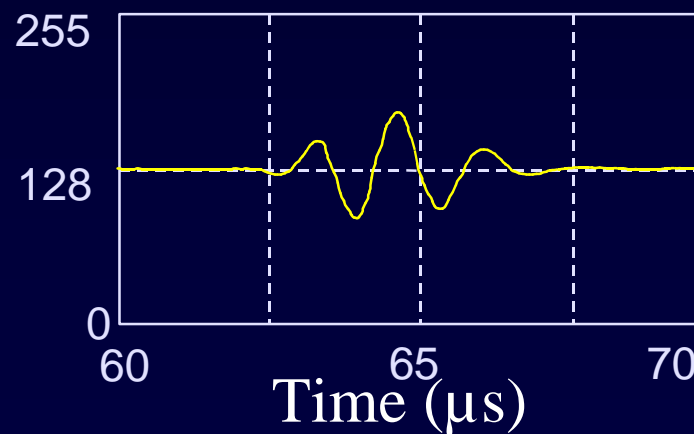
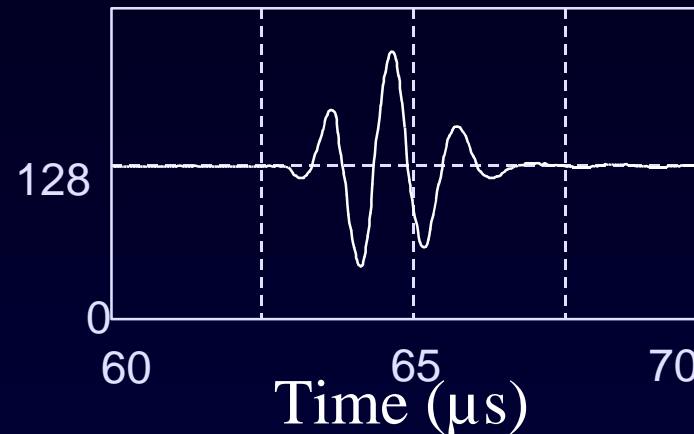
$1475-1650 \text{ m.s}^{-1}$

$1800-2200 \text{ m/s}$

Méthode par substitution

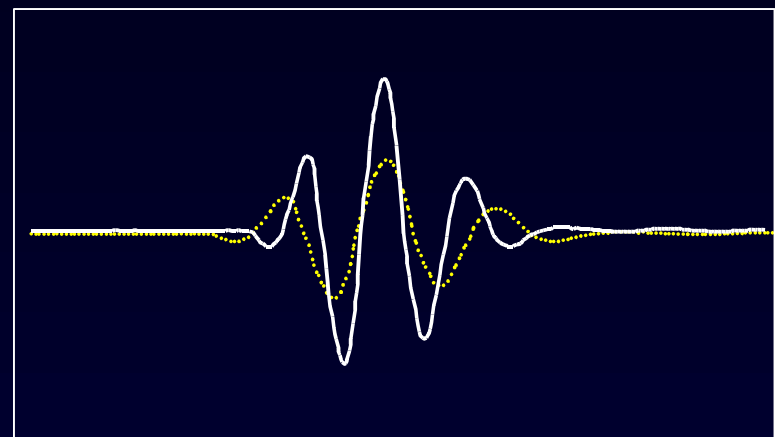


Bone



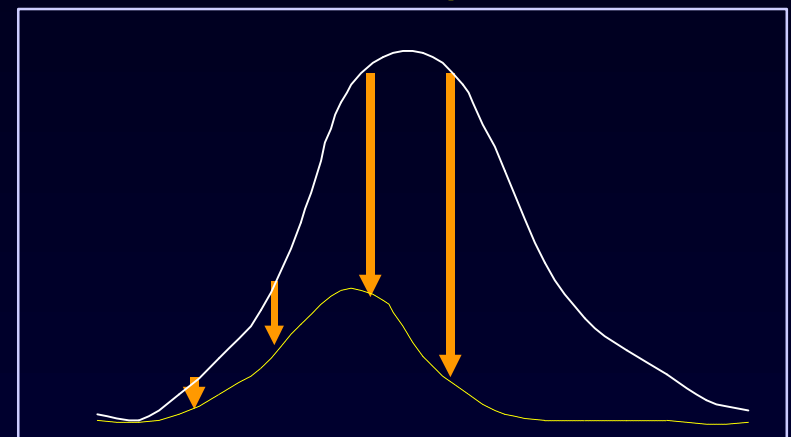
Attenuation measurements using FFT

Rf waveforms



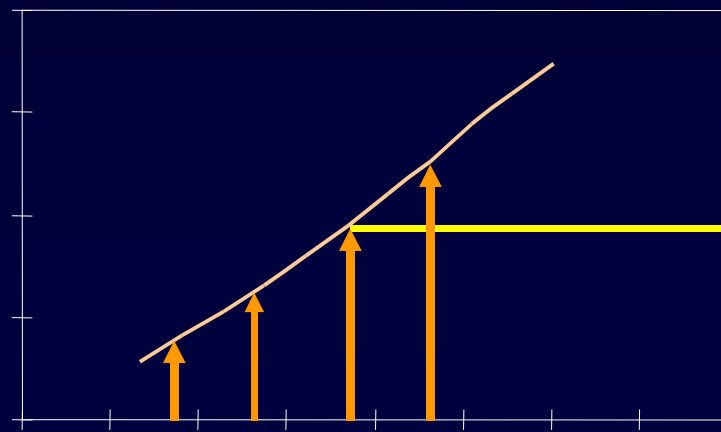
TIME (μ s)

Power spectra



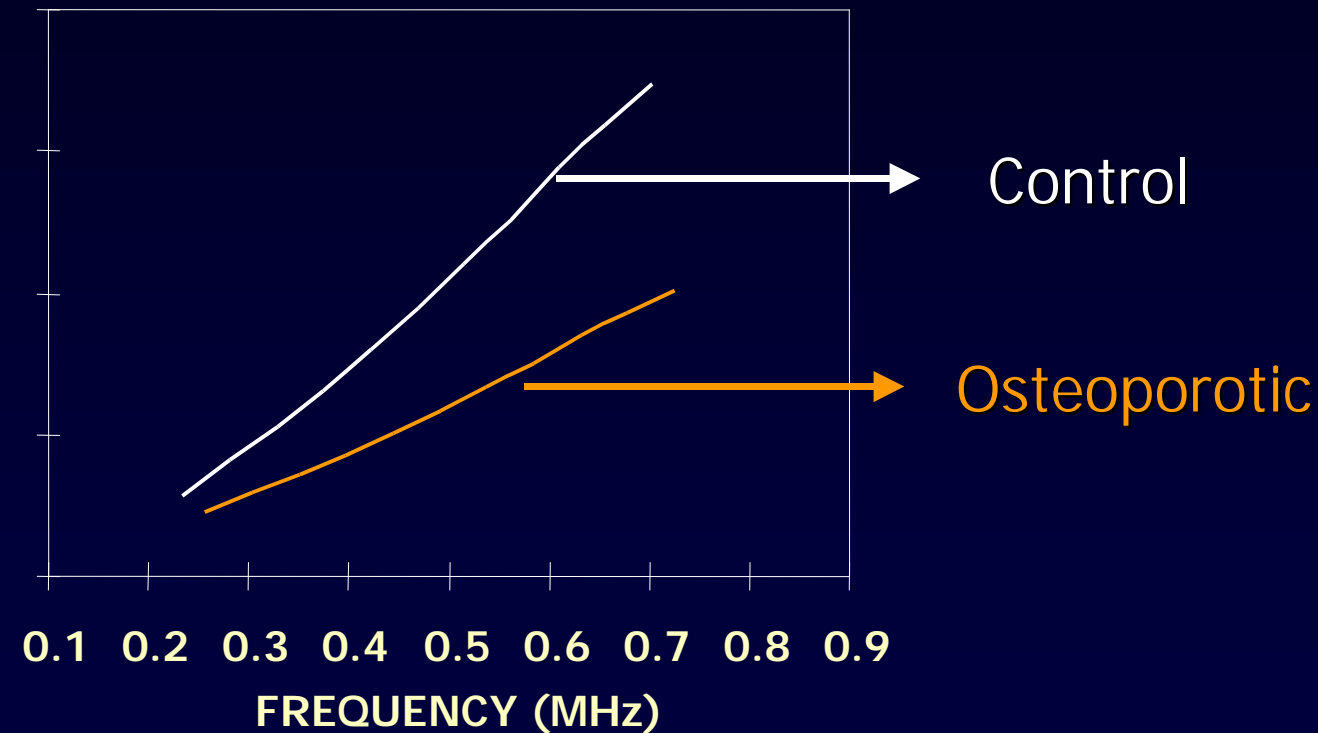
FREQUENCY (MHz)

Attenuation curve vs. frequency



Slope
BUA dB/MHz

Attenuation curve vs. frequency



QUS Imaging

Immersion

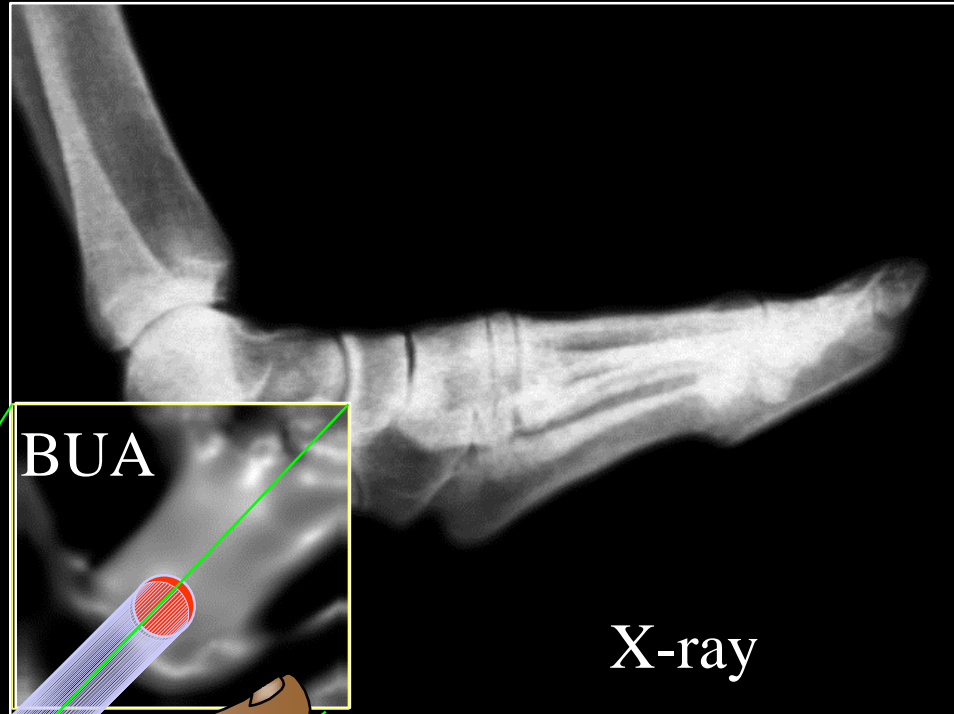
Focused transducers

500kHz

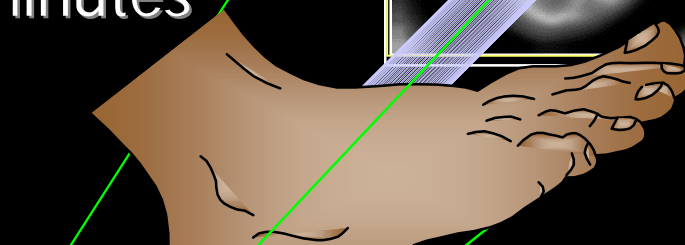
Field of view $60 \times 60 \text{ mm}^2$

Pixel size 1mm^2

Acquisition time 2 minutes



X-ray



Mechanical
Scanning device

LIP

B Fournier, 1997

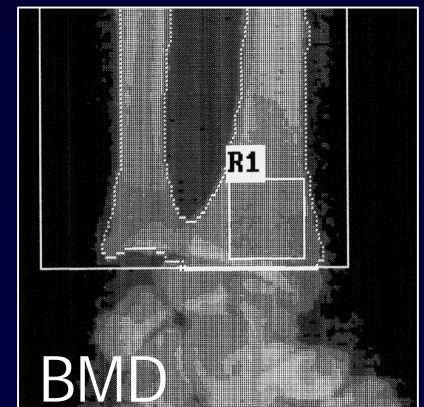
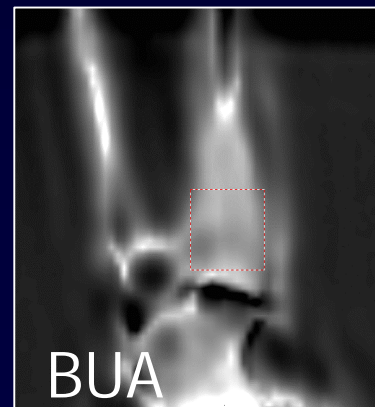
QUS Imaging in progress...

Significant technological advances with contact imaging using 2D Arrays of transducers (24x24 elements) 500 kHz
M Defontaine
LUSSI/GIP Tours France

Foot/Probes interface



QUS Imaging of the wrist
C Chappard, 2000



Axial transmission

Skeletal site :

Tibia

Multi-site

Type of bone

Cortical bone

Cortical bone

Frequency :

250 kHz

1 MHz

Parameter :

SOS

SOS

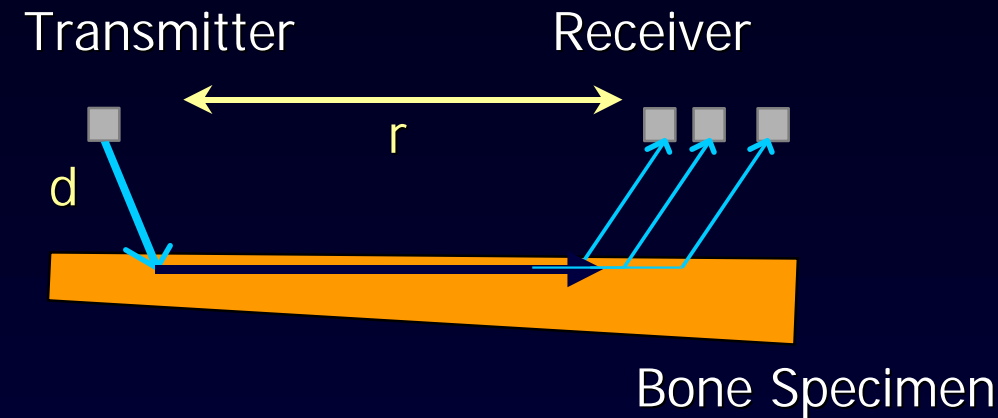


Typical range of values

SOS :

$3500\text{-}4200 \text{ m.s}^{-1}$

Axial transmission



Transmission at the critical angle
Lateral wave propagating along
the sample surface at the
longitudinal velocity

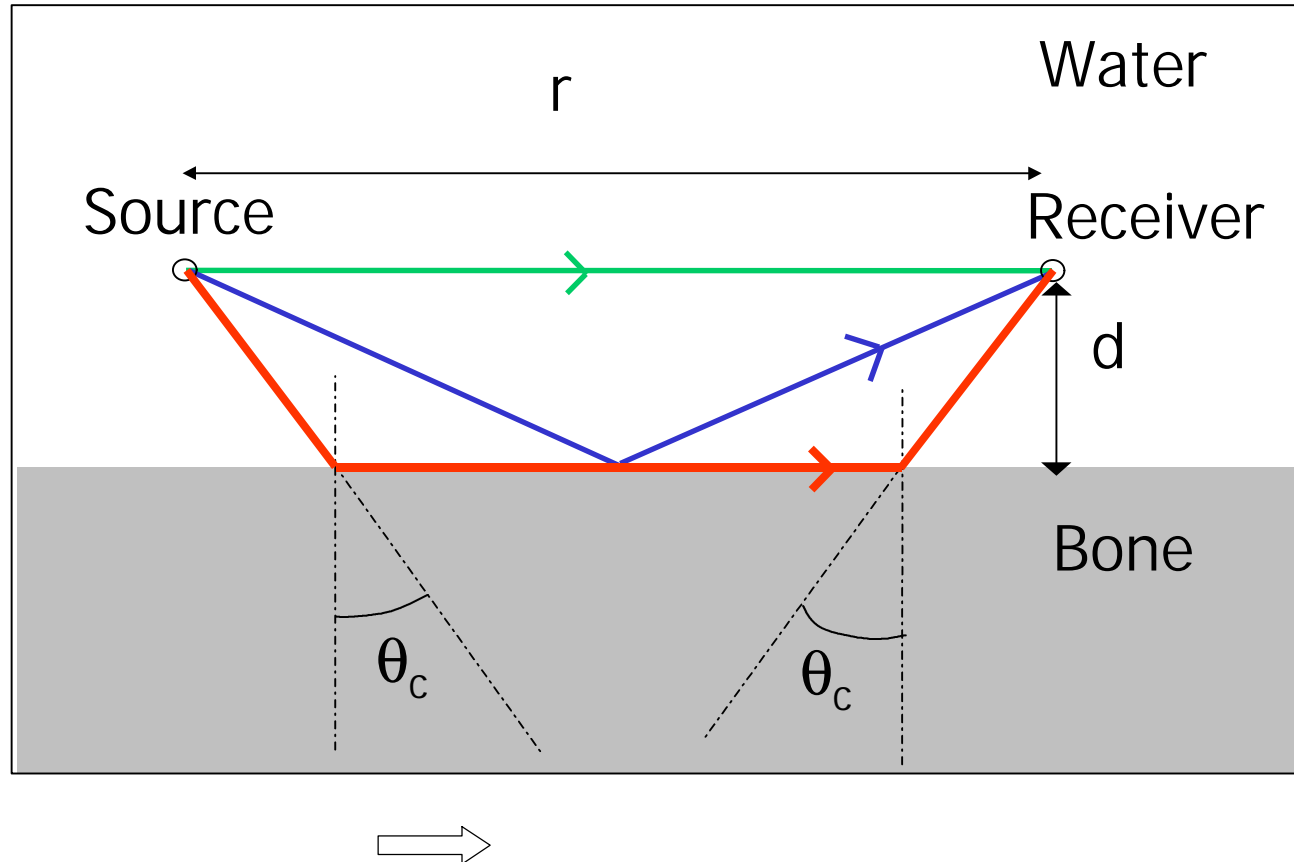
E Camus, LIP

P. Laugier, LIP & M. Tanter, LOA - e2phy 2002 (Villeurbanne, 26-29 août 2002)

LIP

Theoretical Background : lateral wave in case of an interface between two semi infinite media

Time-of-Flight



Clinical applications

Independent predictor of fracture risk	Yes
Secondary osteoporosis	Yes
<ul style="list-style-type: none">• Endocrinal, renal and genetic disorders• Drug-induced osteoporosis (gluco-corticoid)• Loco-regional osteoporosis associated with arthritis• Chronic and inherited disorders in children• Pregnancy and lactation• Immobilization and space applications	

- Imagerie haute fréquence
- Focalisation dans les milieux hétérogènes
- Imagerie quantitative**
- Elastographie
- Non linéaire, produits de contraste
- ...

- Imagerie haute fréquence
- Focalisation dans les milieux hétérogènes
- Imagerie quantitative
- Elastographie**
- Non linéaire, produits de contraste
- ...

- Imagerie haute fréquence
- Focalisation dans les milieux hétérogènes
- Imagerie quantitative
- Elastographie**
- Non linéaire, produits de contraste
- ...

Elastographie

NOMBREUSES PATHOLOGIES ASSOCIÉES À UNE MODIFICATION DE L'ÉLASTICITÉ

Exemple : tumeur cancéreuse (palpation → sein, prostate, foie)

Palpation = évaluation module d'Young

solide élastique isotrope (K, m)

tissus mous $m \ll K$

$$E = \frac{9Km}{3K+m} \approx 3m$$

$$\rightarrow c_l = \sqrt{\frac{3K+4m}{3r}} \approx \sqrt{\frac{K}{r}} \quad c_t = \sqrt{\frac{i}{\tilde{n}}}$$

LIMITES DE L'ÉCHOGRAPHIE CLASSIQUE : sensible aux variations de K SEULEMENT

P. Laugier, E. Tardieu, J. P. Ode, Cours d'échographie (page 5 - 29 août 2002)
AUCUNE INFORMATION SUR μ

Techniques Elastographiques

Couplage entre une sollicitation mécanique (BF) à un système de mesure des déplacements des tissus destiné à l'évaluation quantitative du module d'Young des tissus

Sollicitation

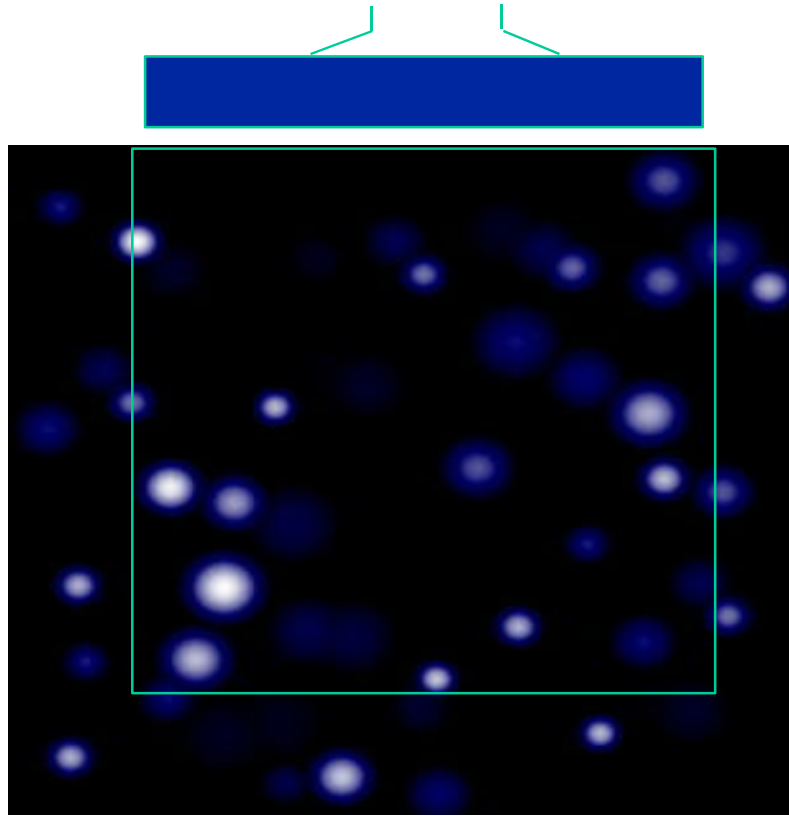
- o Statique
- o Vibration BF (onde de cisaillement)
- o Impulsionnelle (onde de cisaillement)

Mesure déplacements

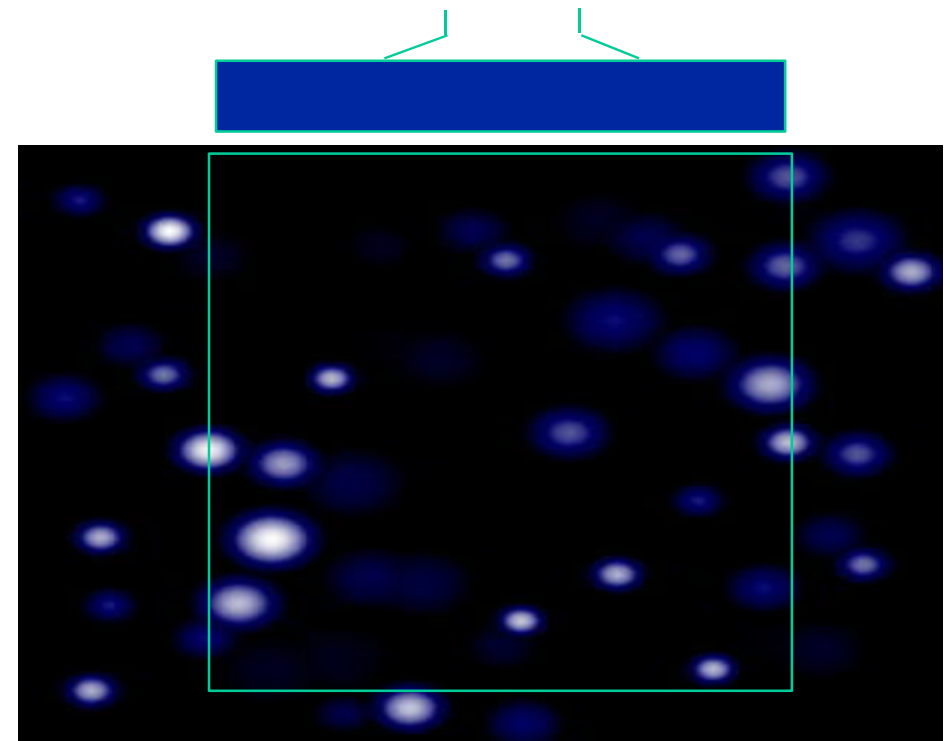
- o Ultrasons : Interférométrie speckle

2. L'élastographie Statique : Principe

(*Pr. J. Ophir*)



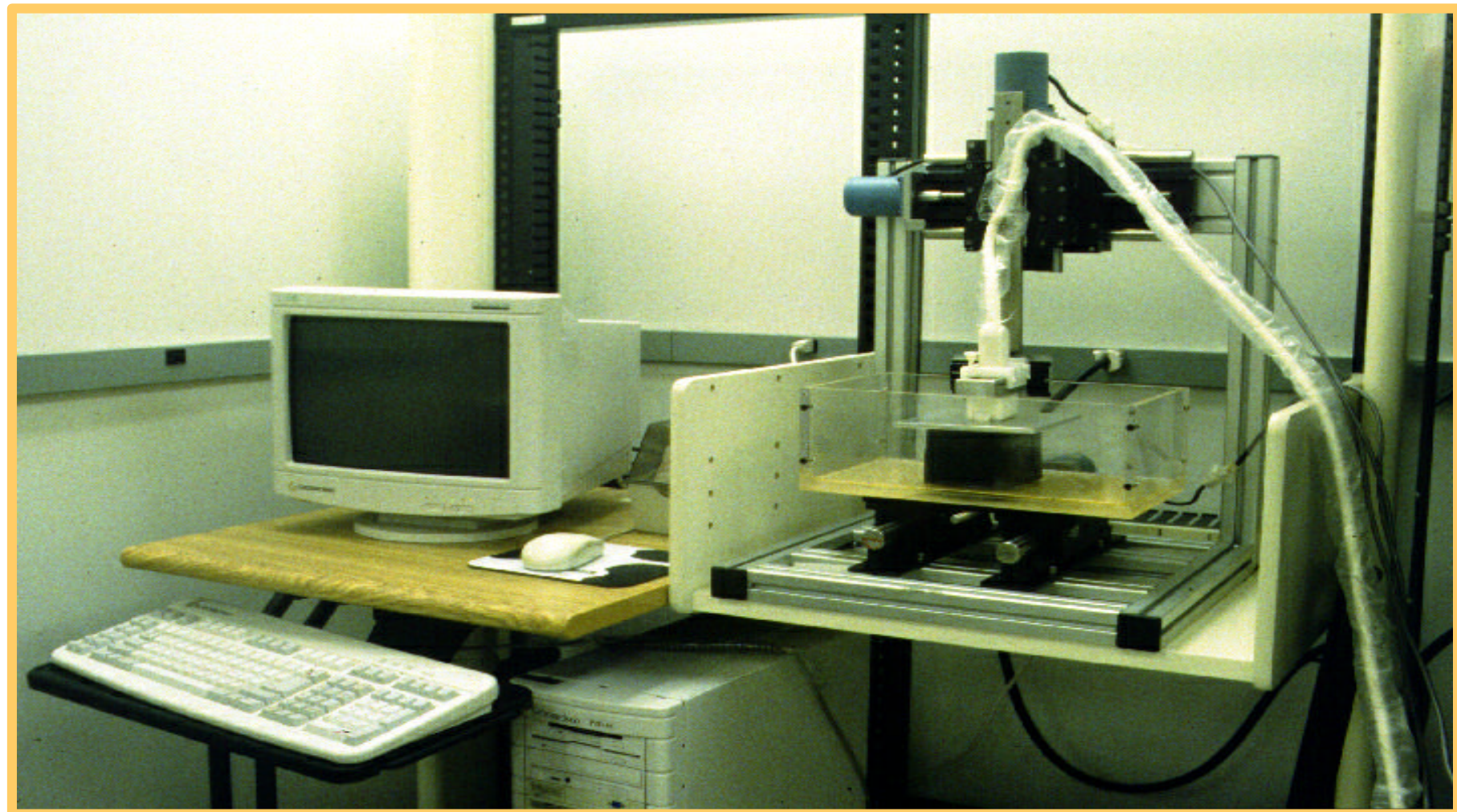
Avant compression



Après compression

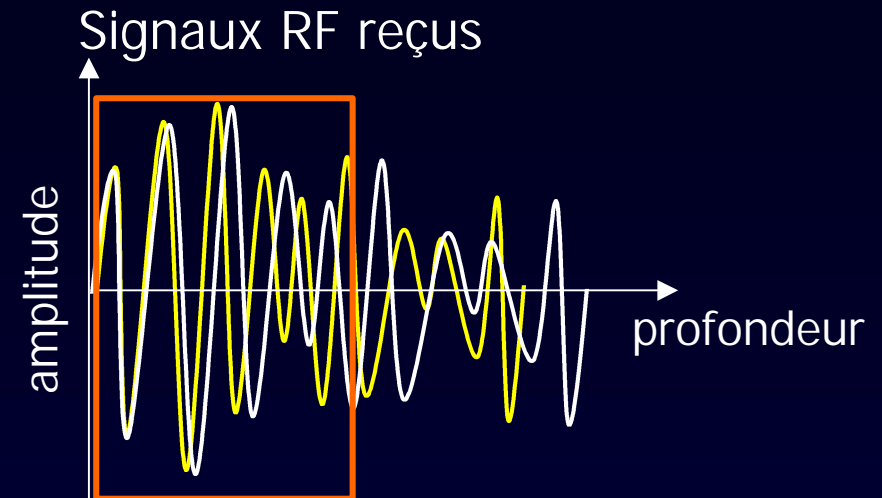
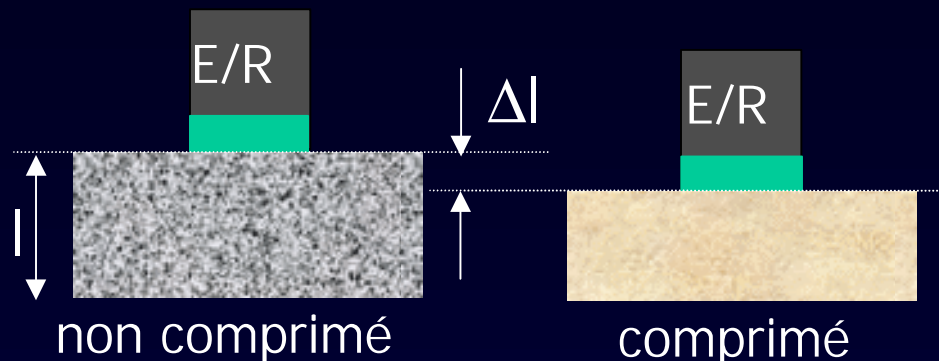
2. L'élastographie Statique : système d'acquisition (Pr. J. Ophir)

Un échographe standard + Un système de compression statique

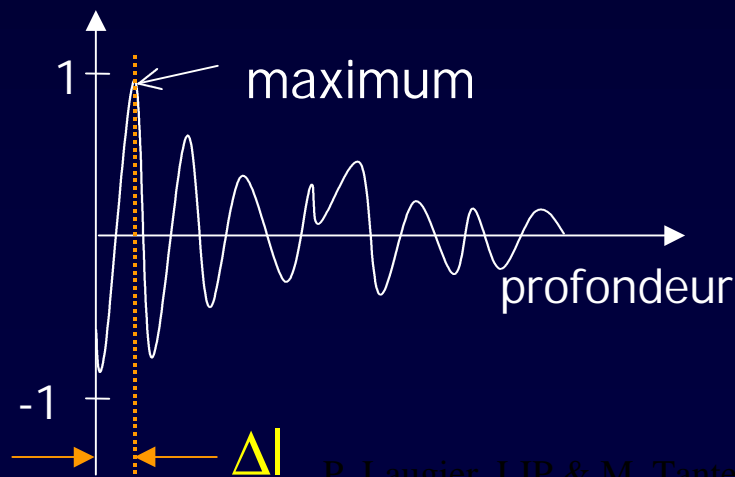


- I - Elastographie statique

Principe



Intercorrélation des deux signaux RF



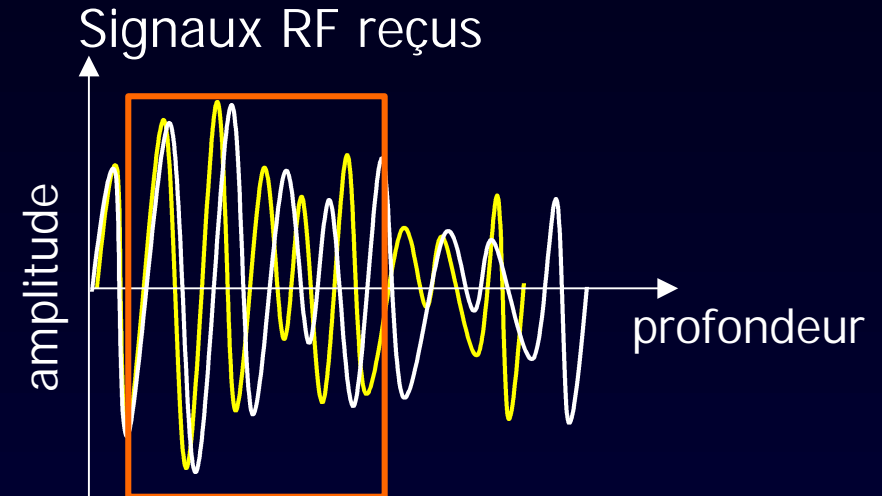
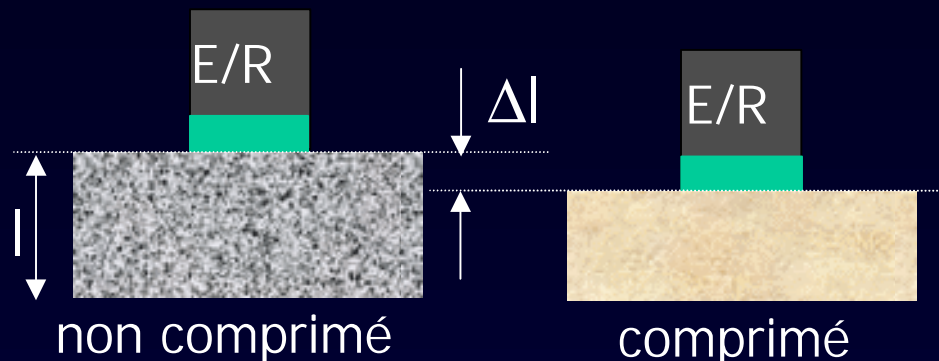
→ cartographie des déformations locales

module d'Young

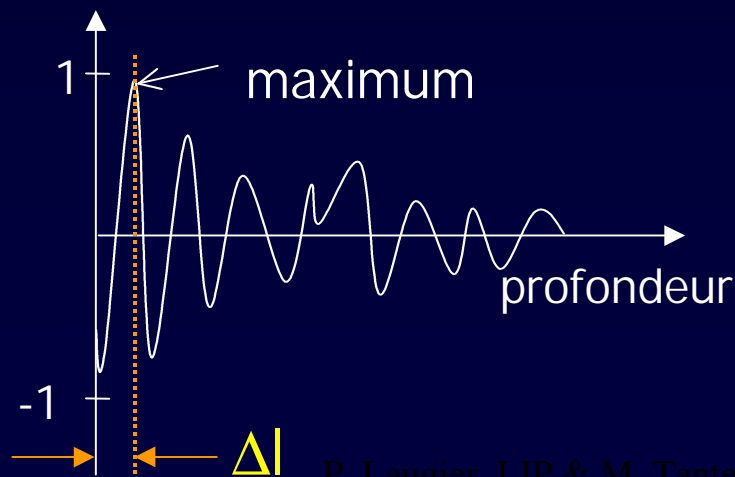
$$E = \frac{\sigma}{\ddot{\Delta}l/l}$$

- I - Elastographie statique

Principe



Intercorrelation des deux signaux RF



→ cartographie des déformations locales

module d'Young

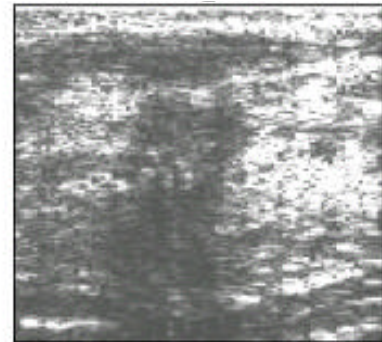
$$E = \frac{\sigma}{\ddot{\Delta}l/l}$$

(*Pr. J. Ophir*)

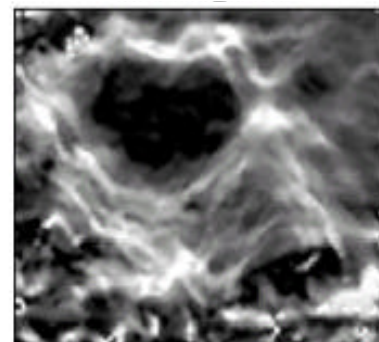
Quelques résultats...

Malignant *in vivo* breast tumor

sonogram



Elastogram



- II - Elastographie impulsionnelle

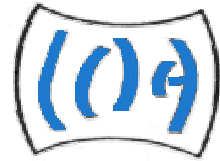
- o Générer une onde de cisaillement dans le corps
- o Méthode ultrarapide d 'imagerie (10 000 i/s)
- o Enregistrement de la propagation de l 'onde de cisaillement
- o Mesure du déplacement en chaque par méthode d'intercorrélation
- o $u(r,t)$ est connu à chaque instant et en chaque point de l 'espace

Problème inverse

$$c_t^2 = \frac{\partial^2 u(r,t) / \partial t^2}{D u(r,t)}$$

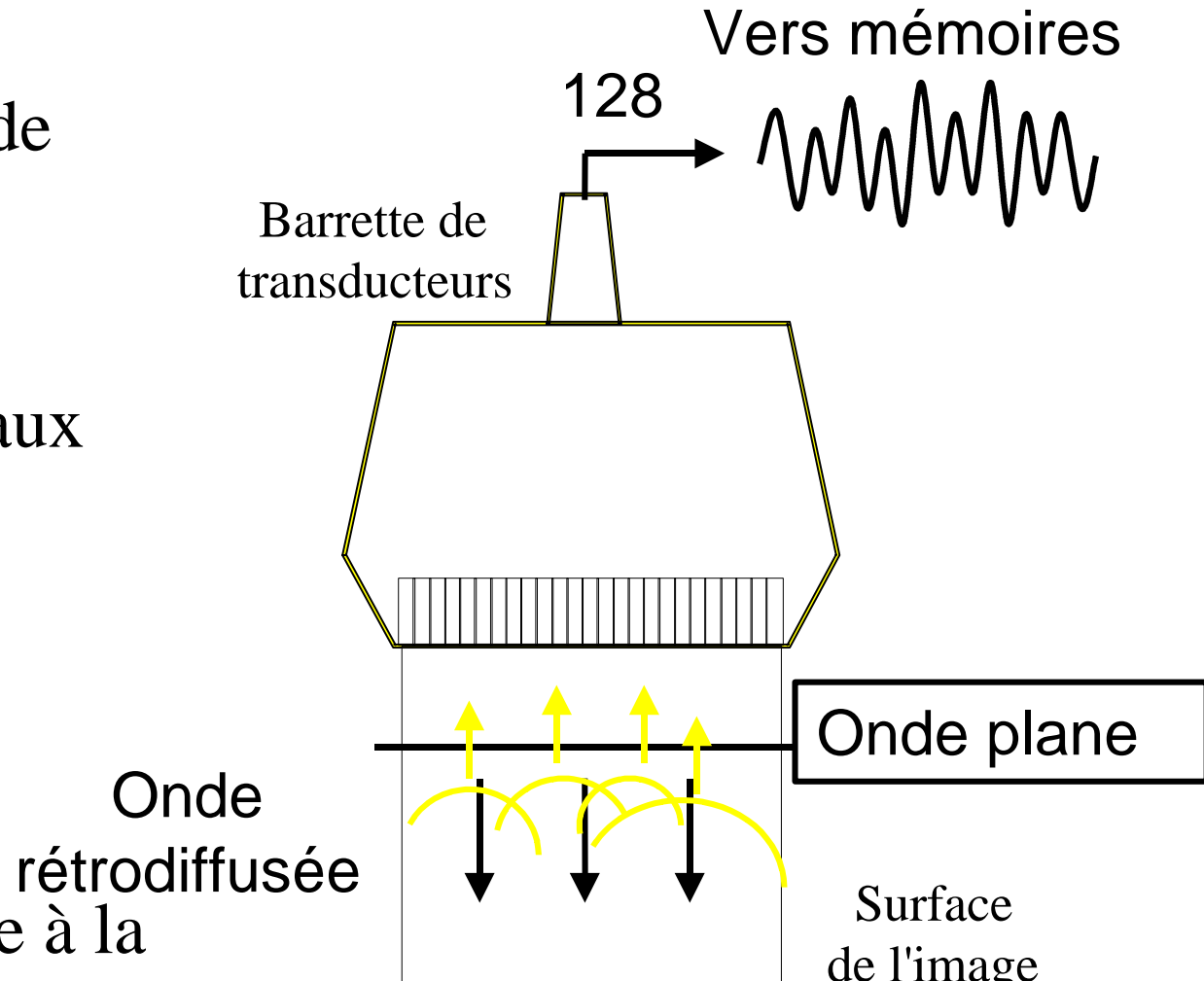
→ Cartographie μ

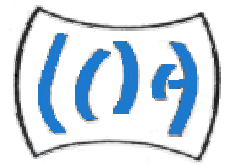
$$c_t = \sqrt{\frac{i}{\tilde{n}}}$$



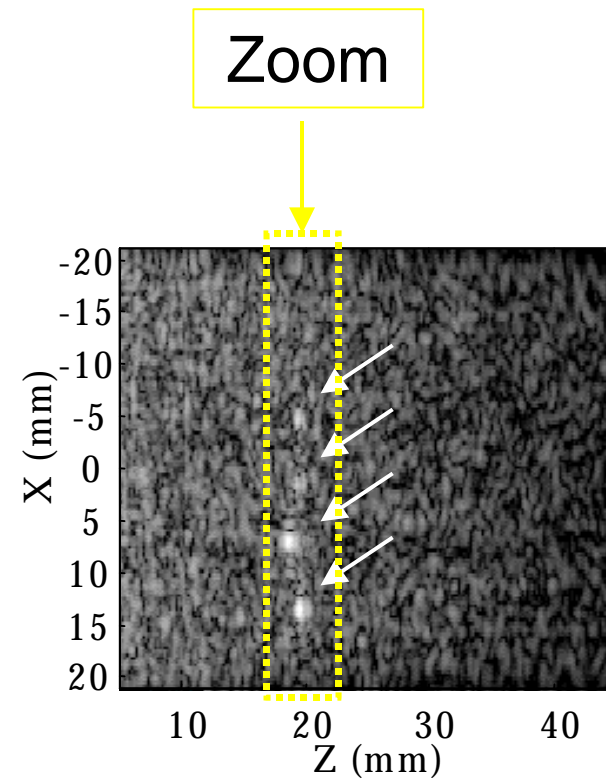
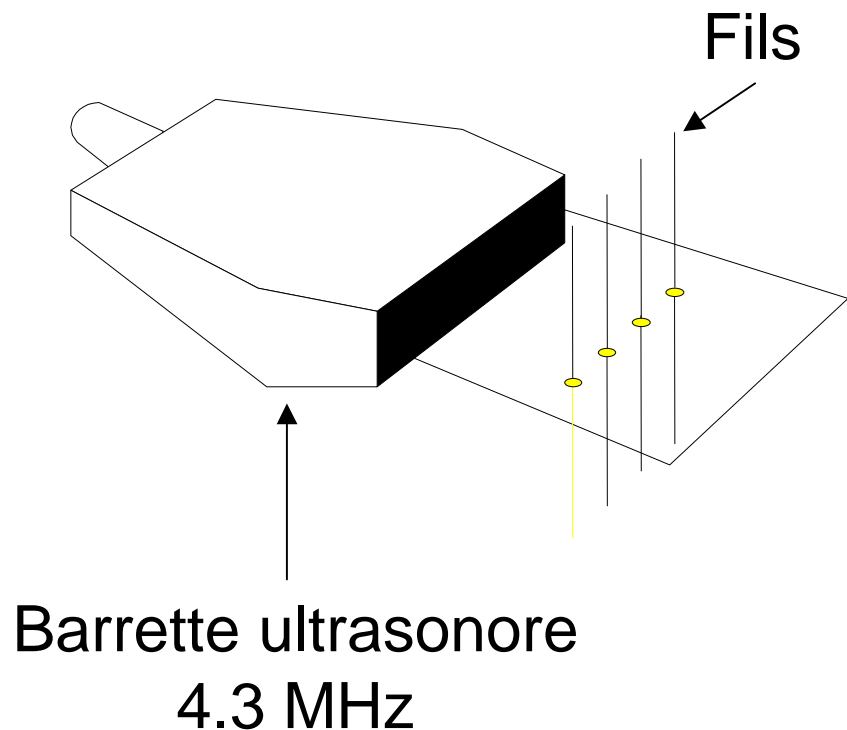
4. Principe de l' Ultrafast imaging

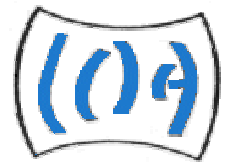
- Illumination à l'aide d'une onde plane
- Stockage des signaux ultrasonores
- 10000 images/s
- Focalisation simple à la réception





4. Image d'un fantôme de test

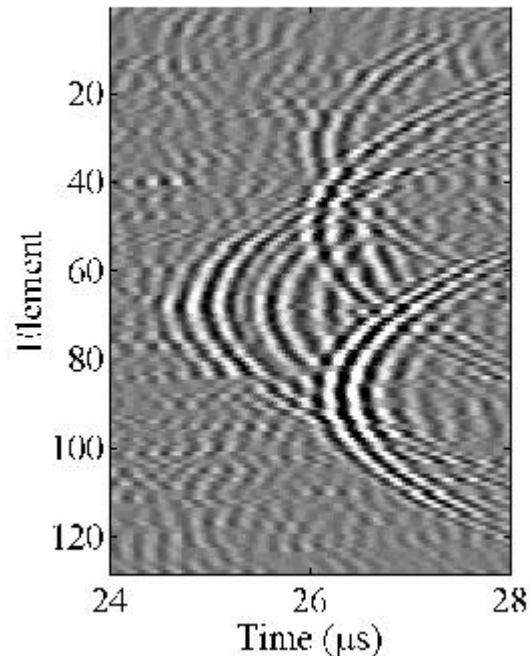




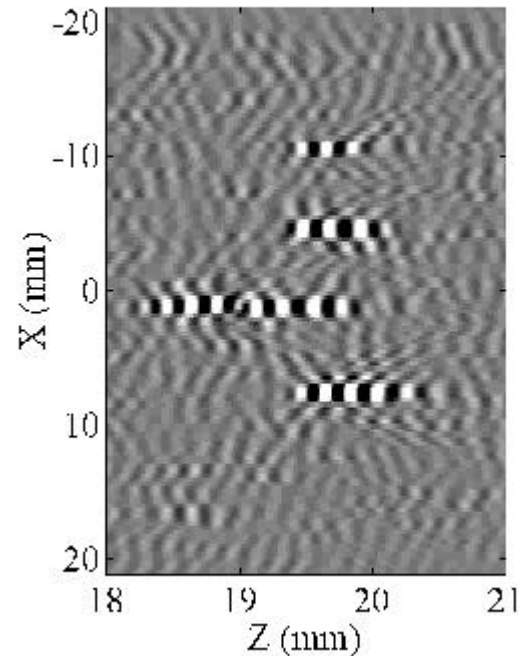
4. Acquisition en dynamique

- Agitation mécanique
- 1000 images par seconde

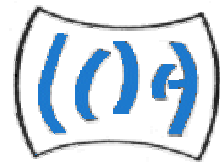
**Signaux
ultrasonores**



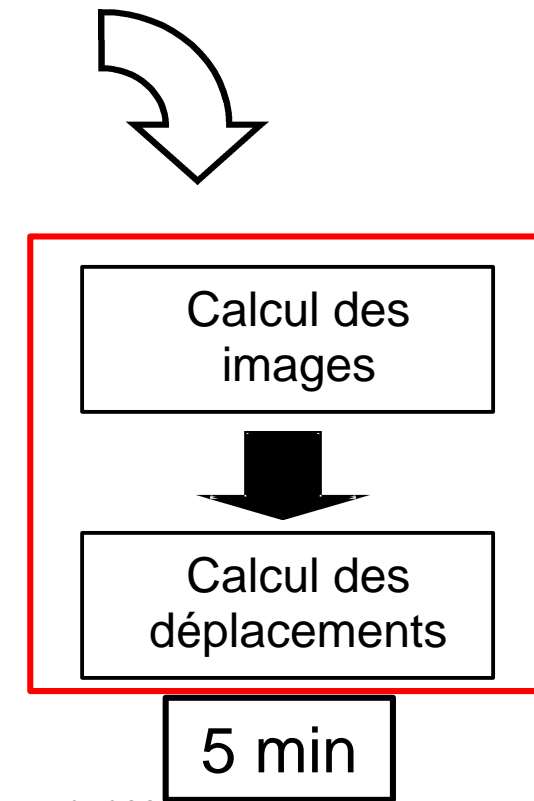
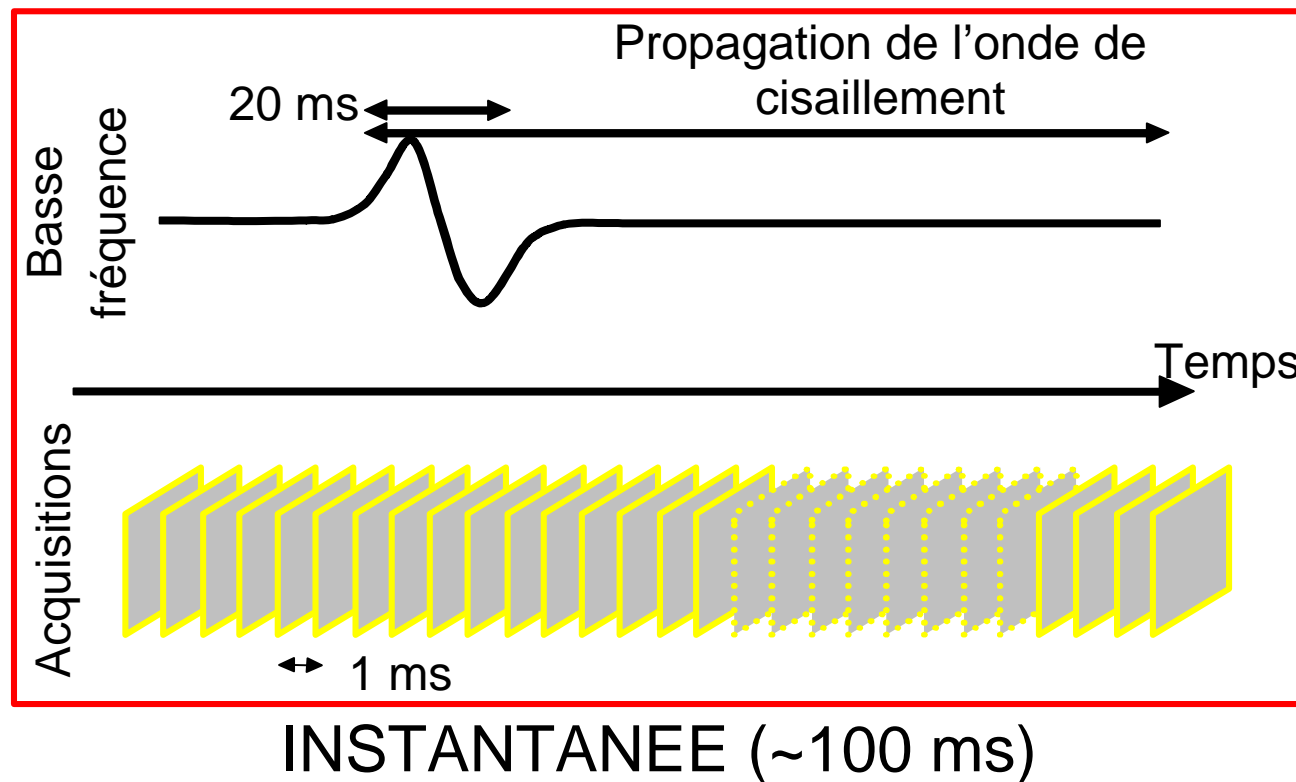
1 ms



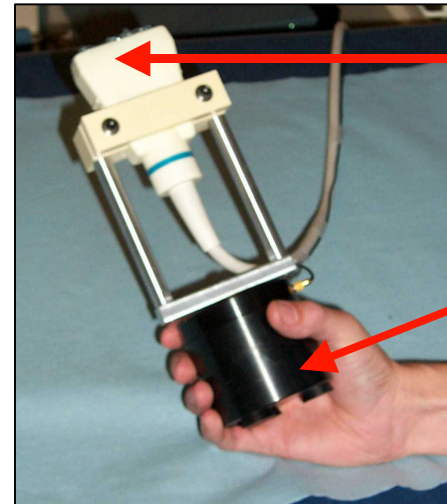
**Images
ultrasonores**



4. Séquence d'acquisition et traitements



5. Breast Cancer Detection : first *In Vivo* Results



- 20 Women with palpable tumors
- 10 minutes Data acquisitions
- Classical echographic exam
- + Transient elastography on the same system
- 200 speckles images (Frame rate : 2000 Hz)
- Low frequency vibration : 50 Hz





ECHO: Nymphe des forêts,
personnification de l'écho.